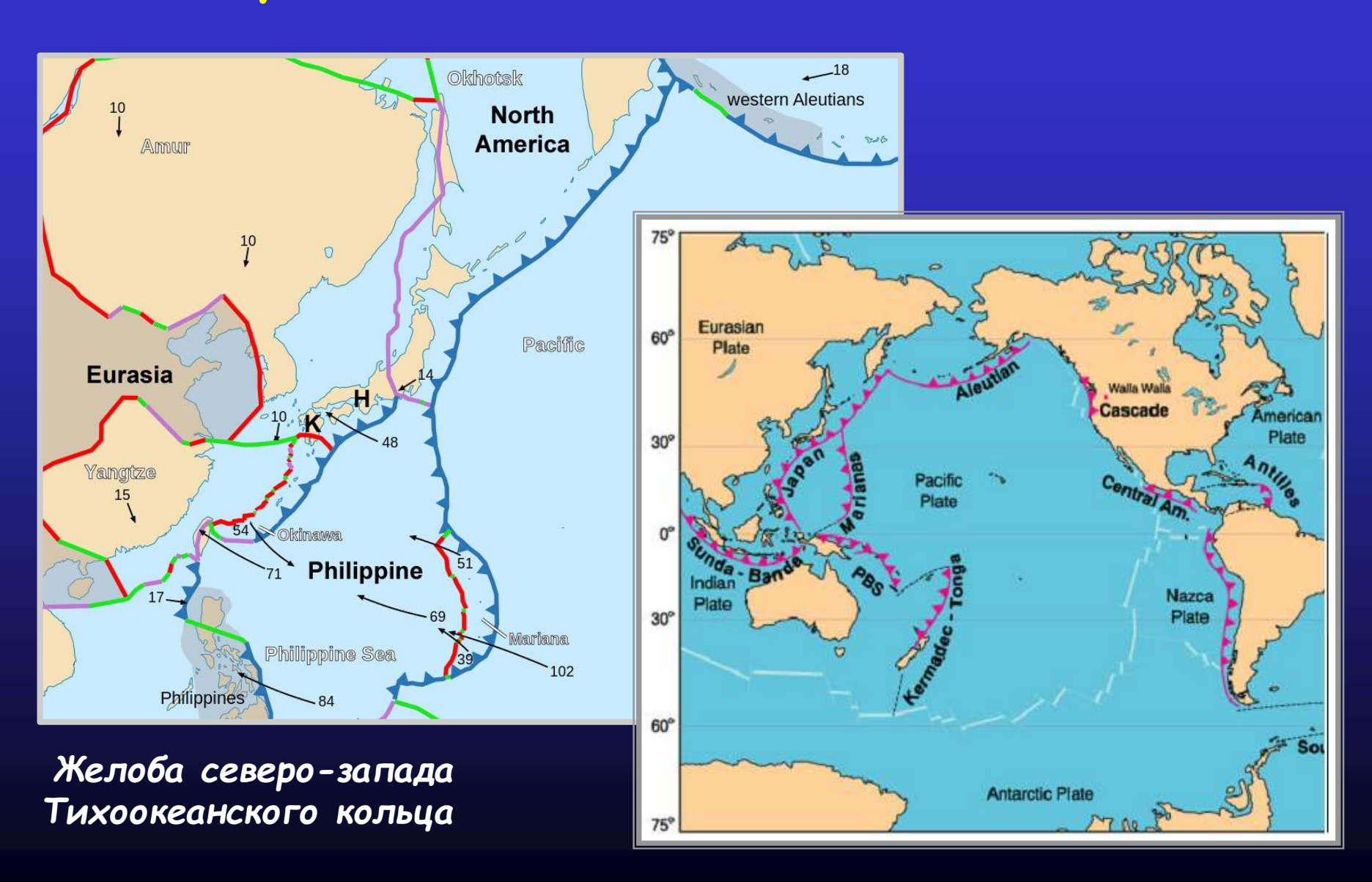
Общая тема:

AKTUBHLIE OKPAUHLI KOHTUHEHTOB

Лекция № 29

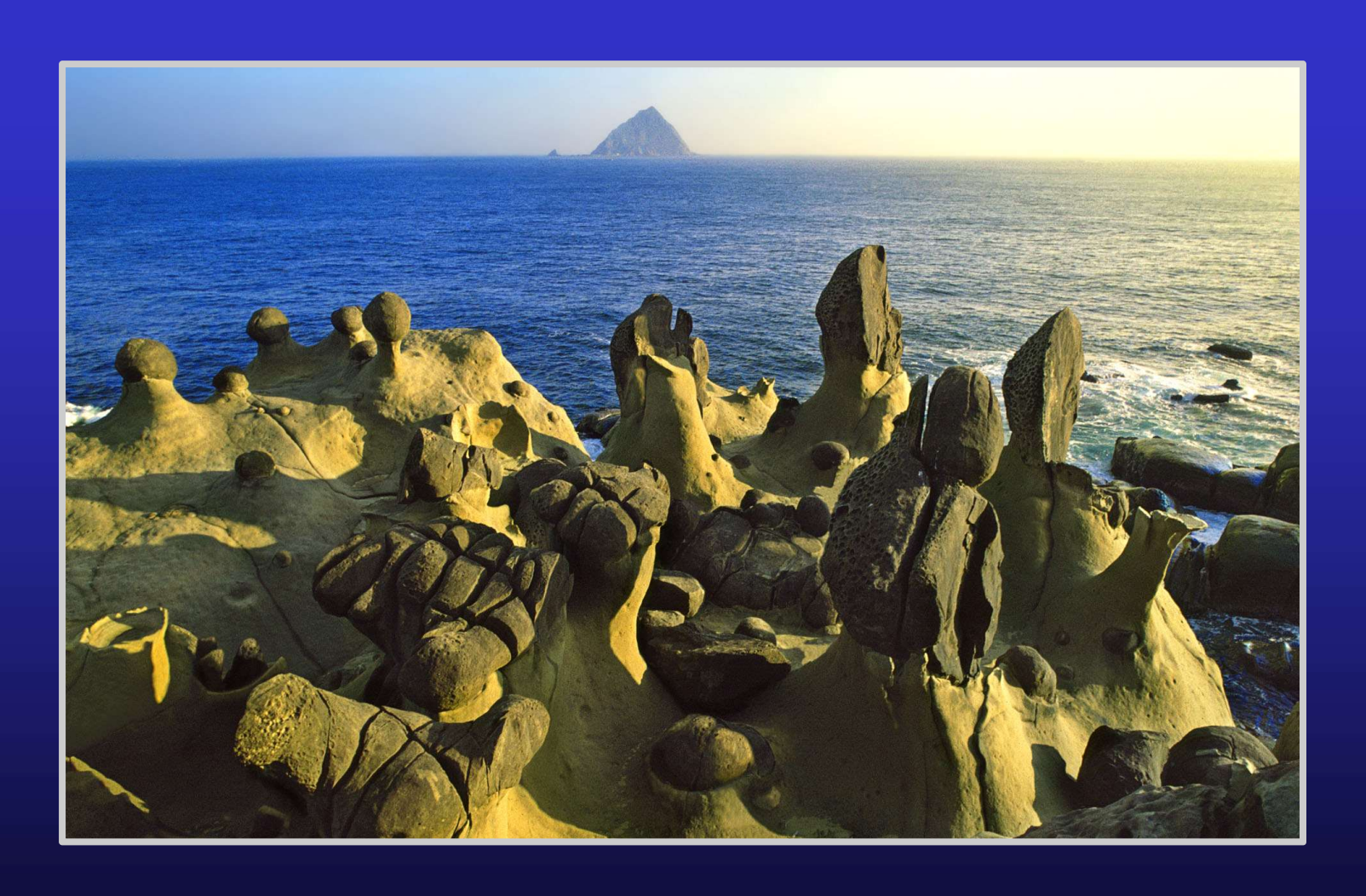
Формации глубоководных желобов и происхождение бонинитов

Островные дуги, континентальные окраины и глубоководные желоба Тихого океана





Восточное побережье Тайваня



Острова Рюкю



Остров Окинава

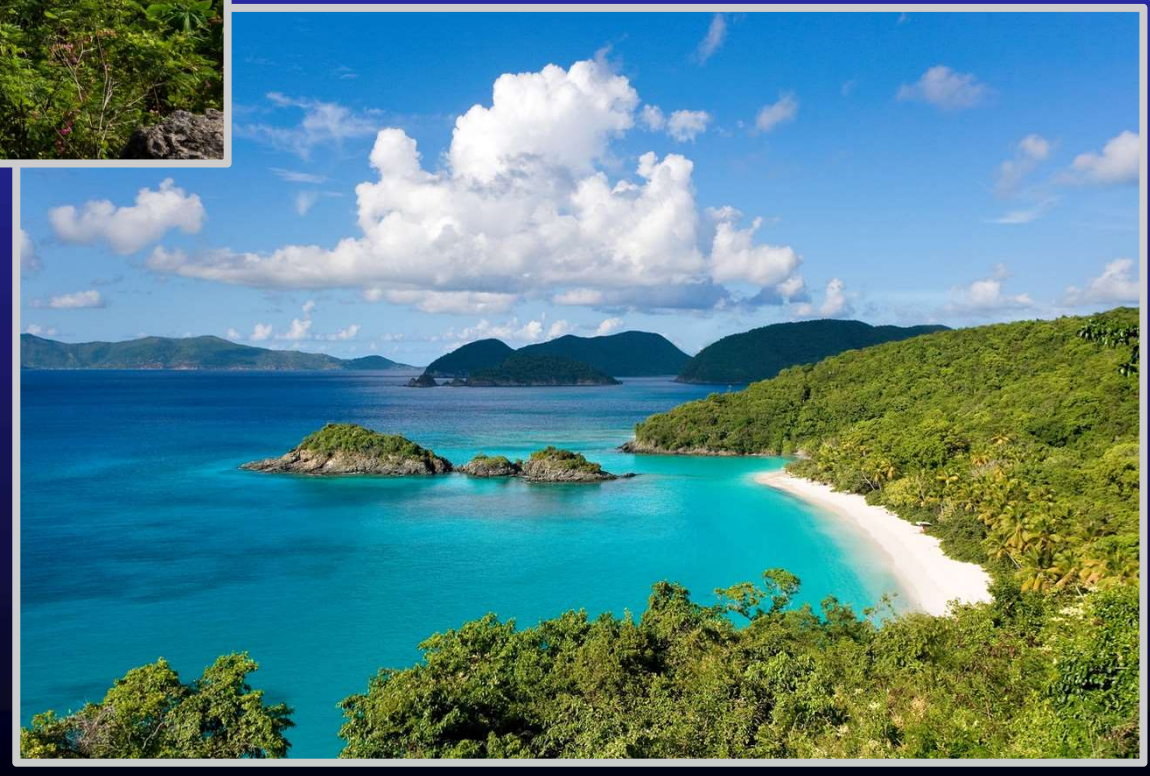


Остров Гуам (Марианские о-ва)



Имеет статус неинкорпорированной организованной территории США (то есть невходящий в состав США, но являющийся их владением)

Самый южный в архипелаге Марианских островов

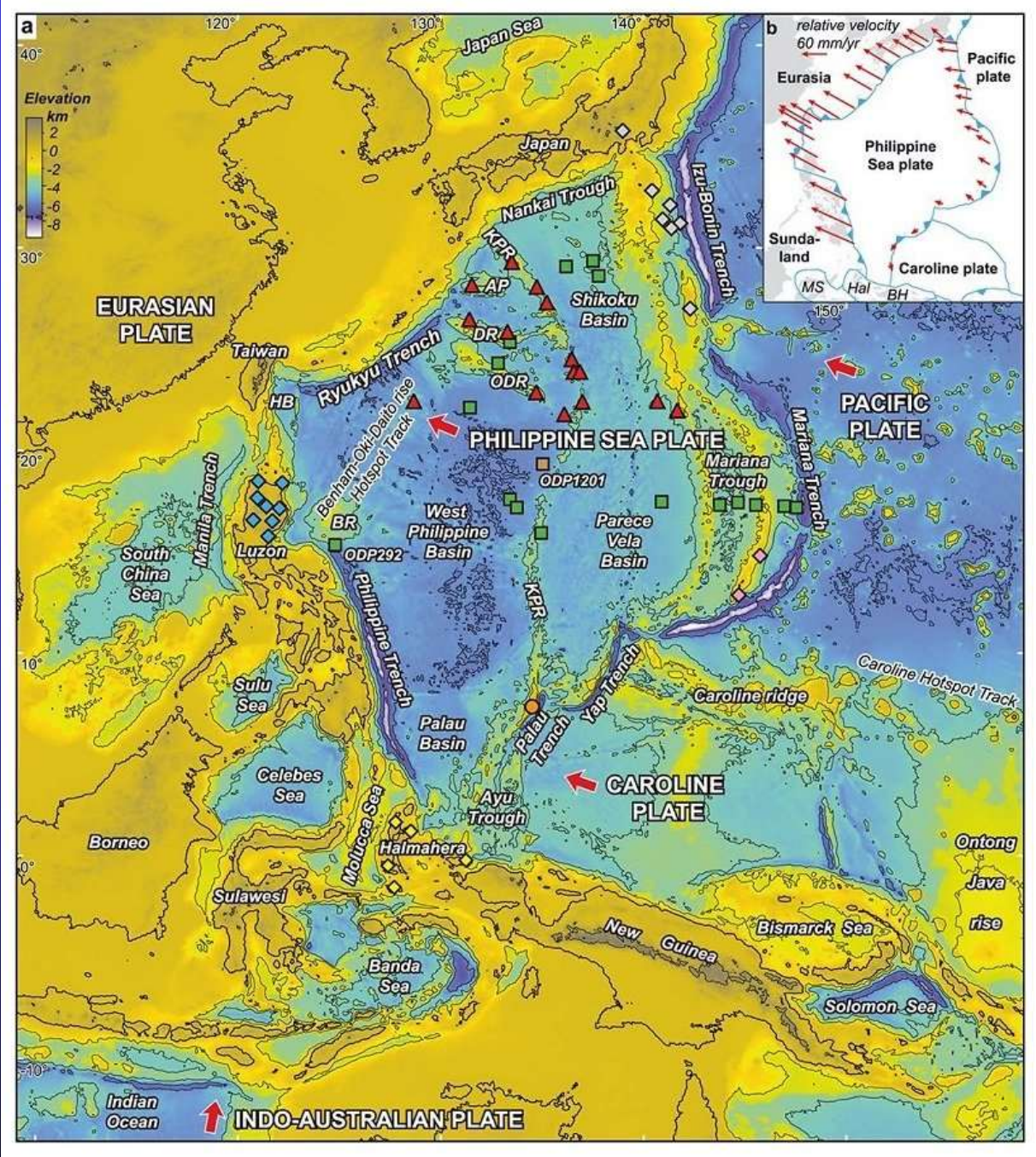


Северные Марианские о-ва (также владение США)

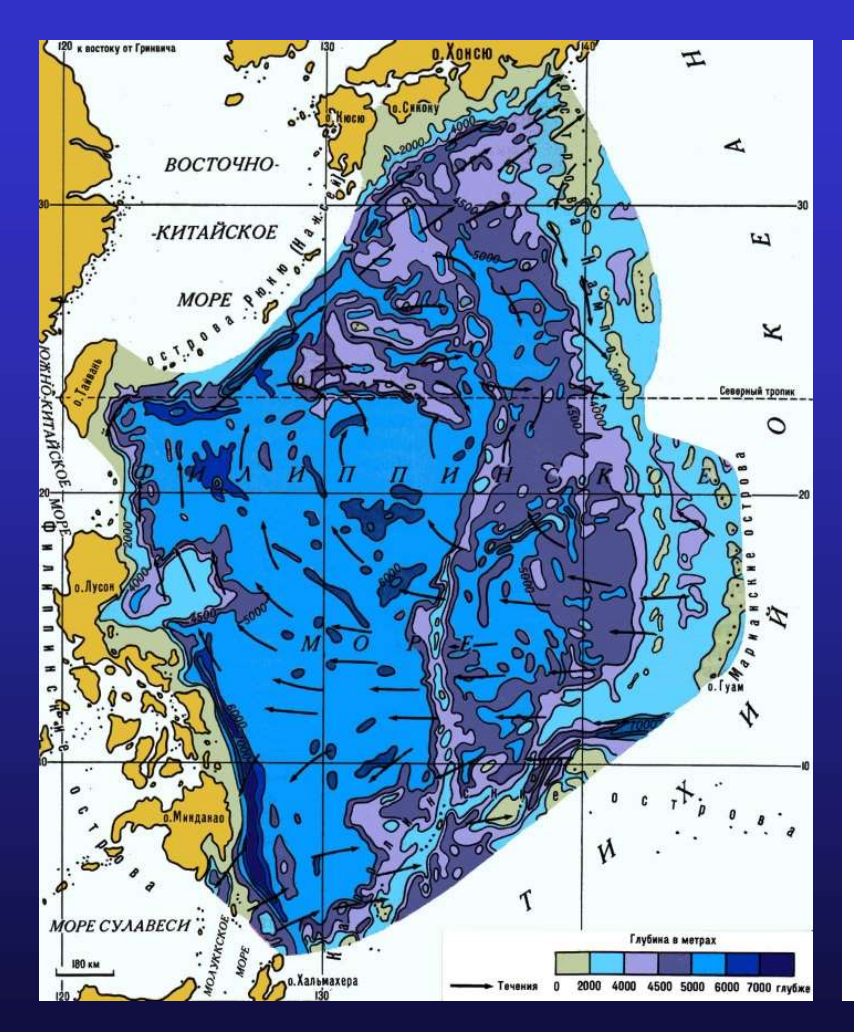


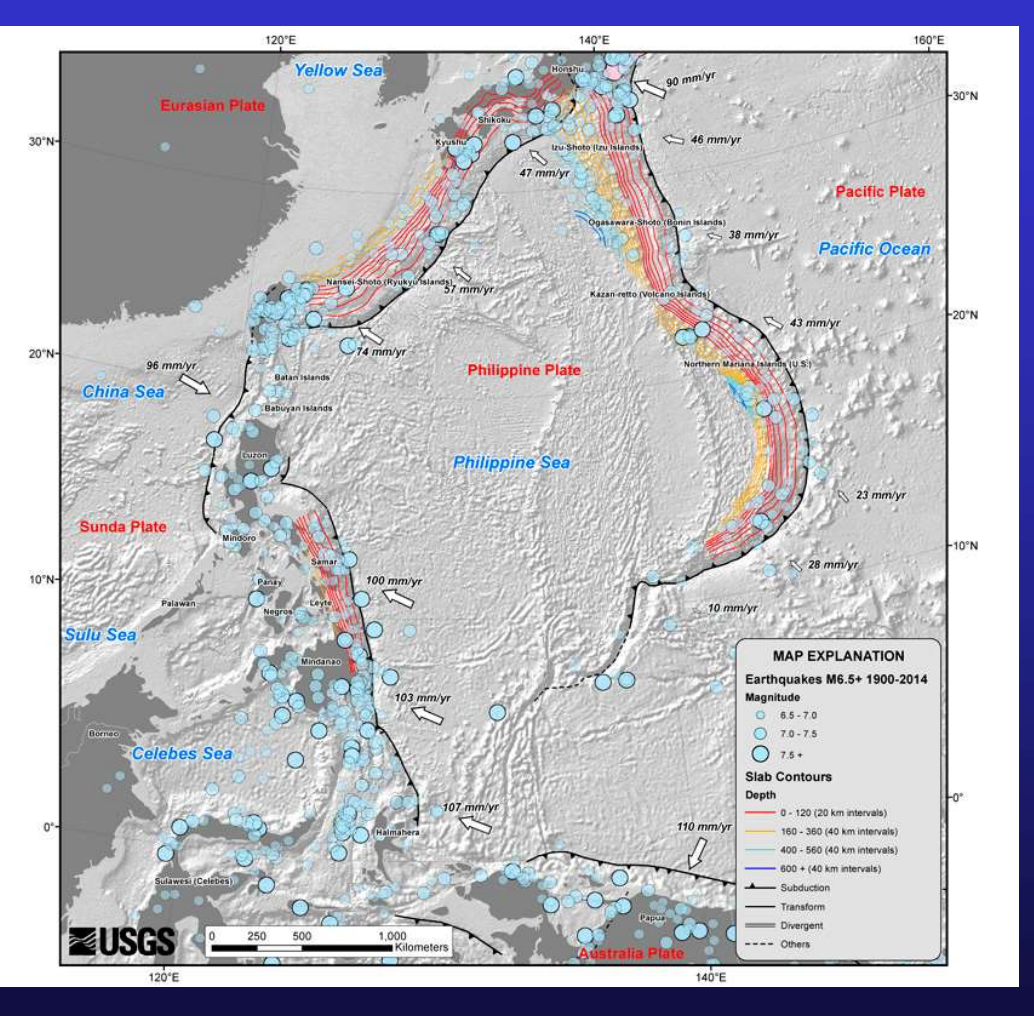
По-простому - Филиппинская плита, но как же сложно устроена!





Филиппинское море - батиметрия и сейсмика

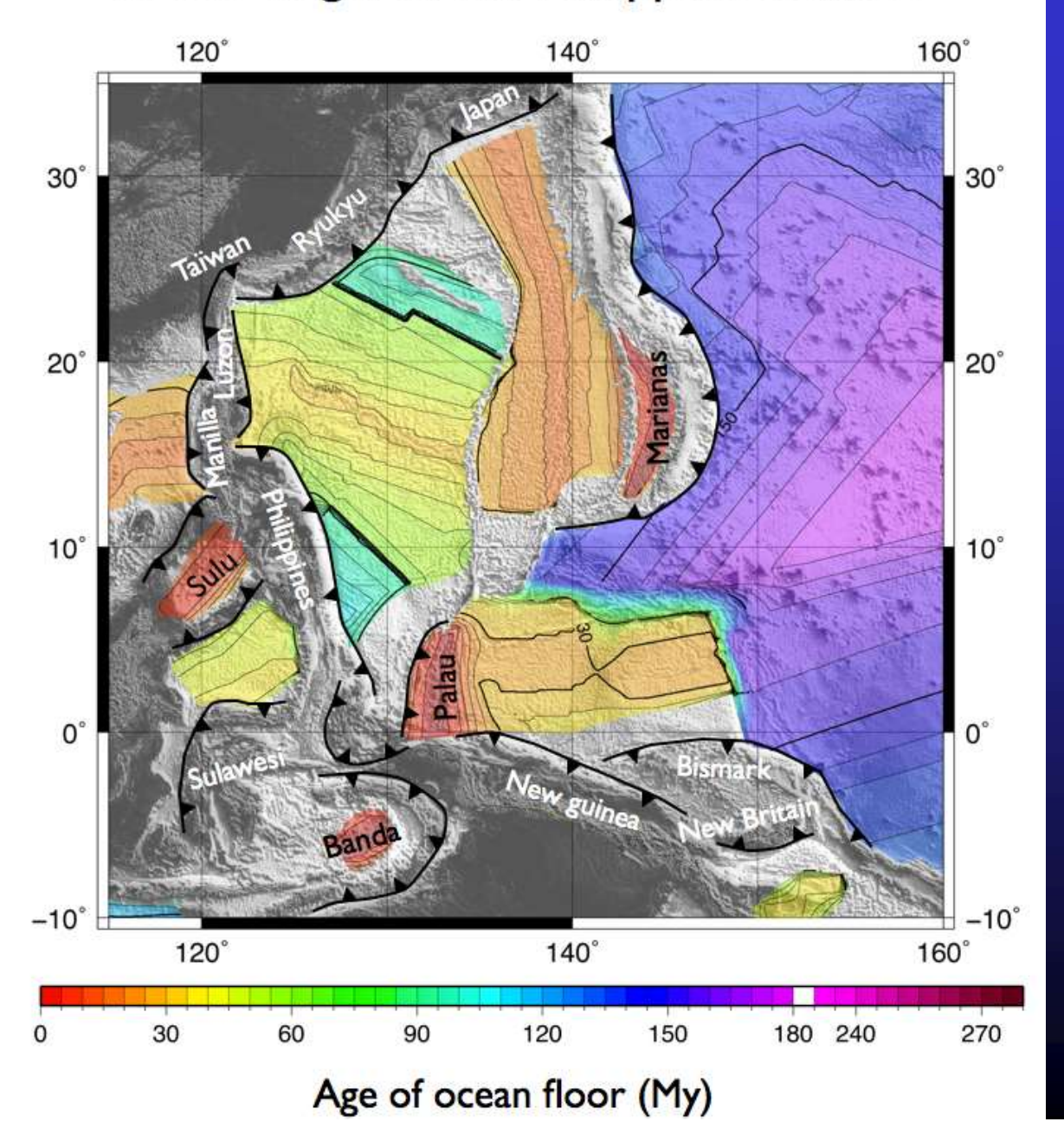




Распределение глубин:

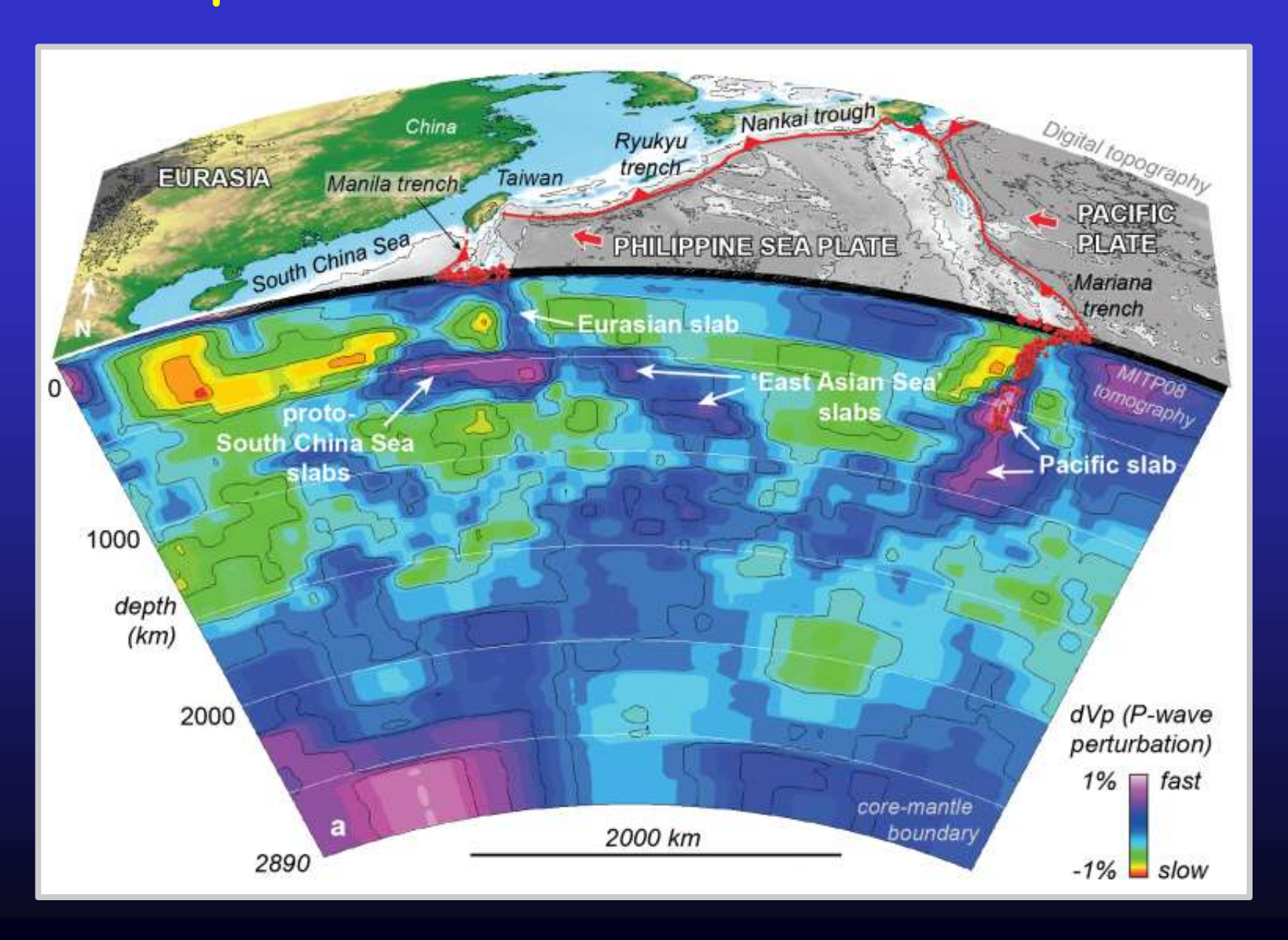
самое глубокое в мире – в среднем 4108 м, самый глубокий желоб - 10994±40 м Мощность землетрясений

Multiple extrusions of mantle at the origin of the Philippine seafloor



Возраст пород океанического дна

Схема строения мантии под Филиппинской плитой



Геологическое строение и особенности магматизма глубоководных желобов



Схема строения глубоководных желобов



"Континентальные" желоба (связаны с энсиалическими дугами)

Японский, Курило-Камчатский, Перуанско-Чилийский "Океанические" желоба (энсиматическими дугами)

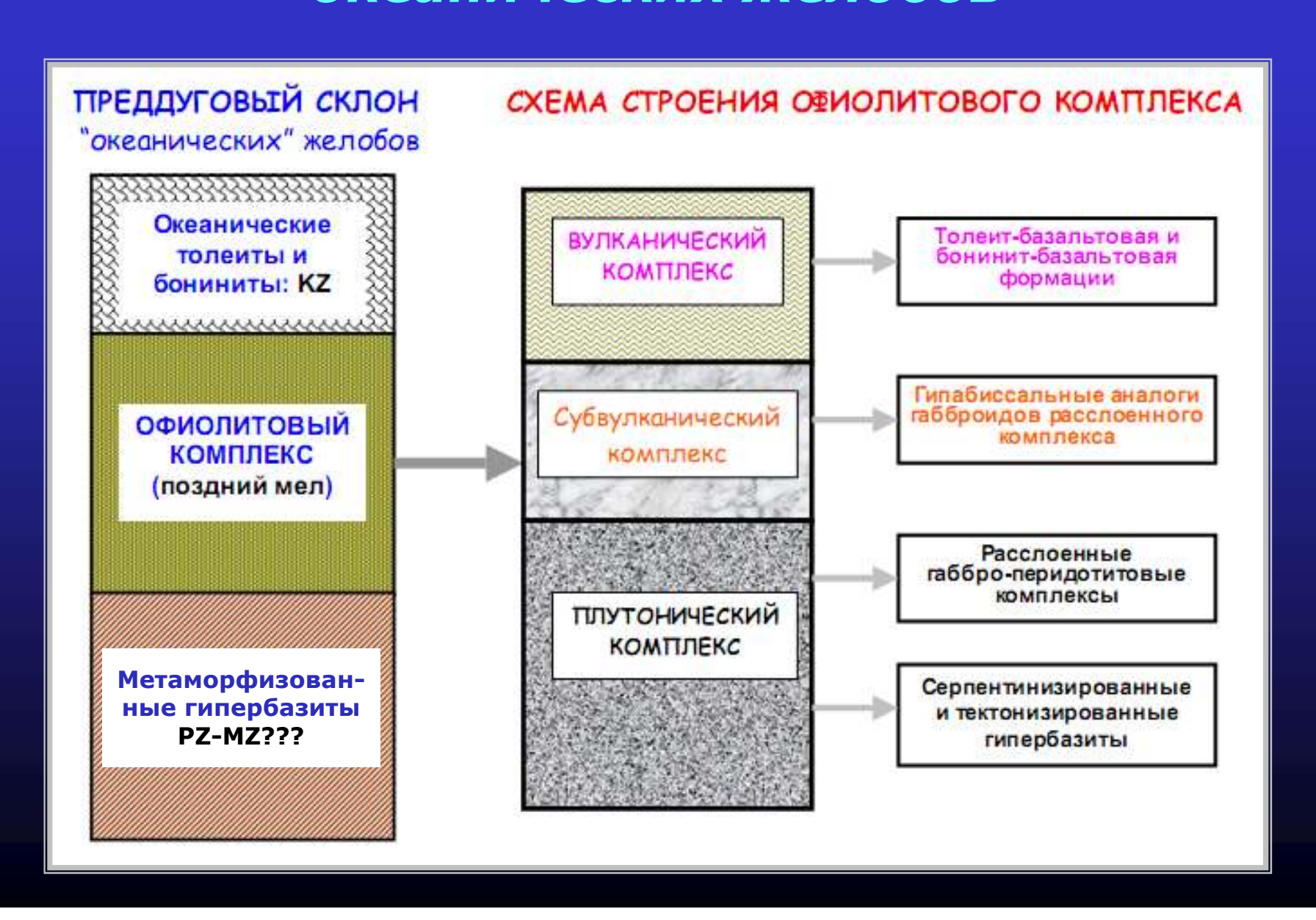
Идзу-Бонинский, Марианский, Тонга-Кермадек

Два типа разрезов преддуговых склонов глубоководных желобов

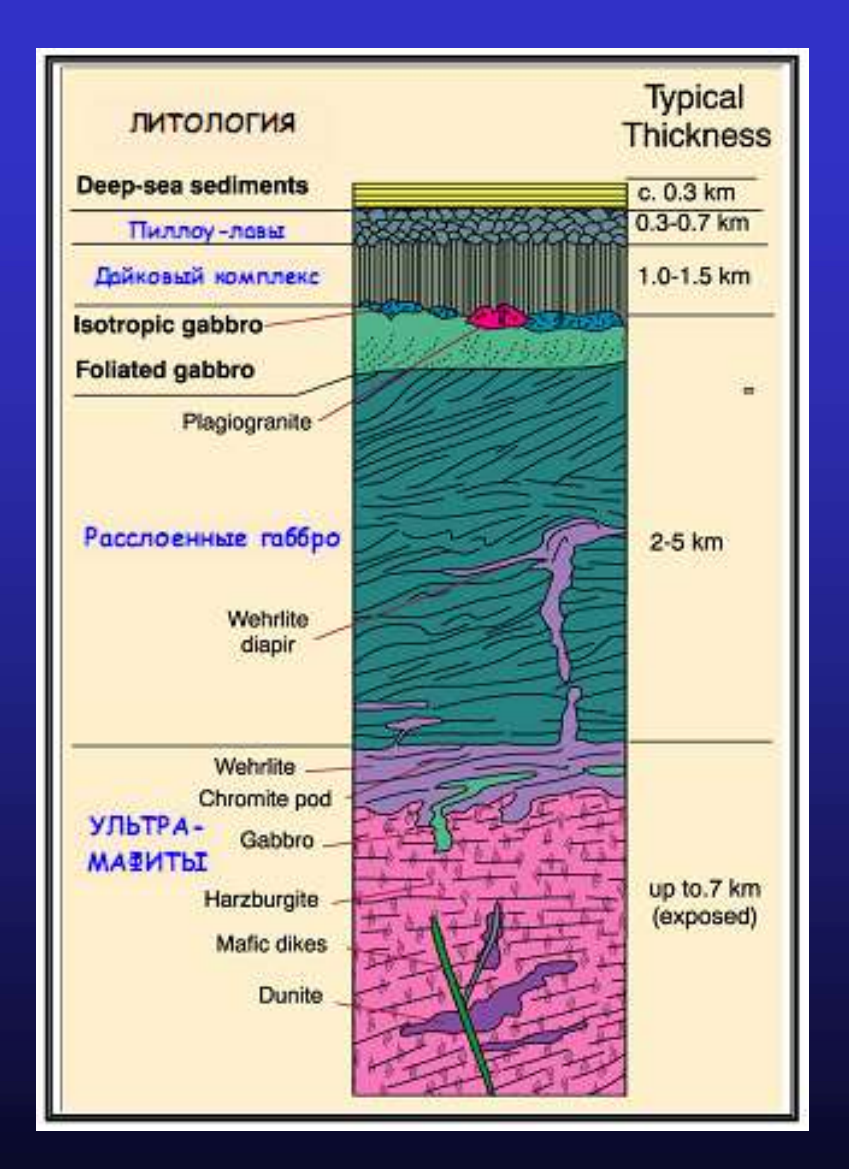




Разрезы и формации преддуговых склонов океанических желобов

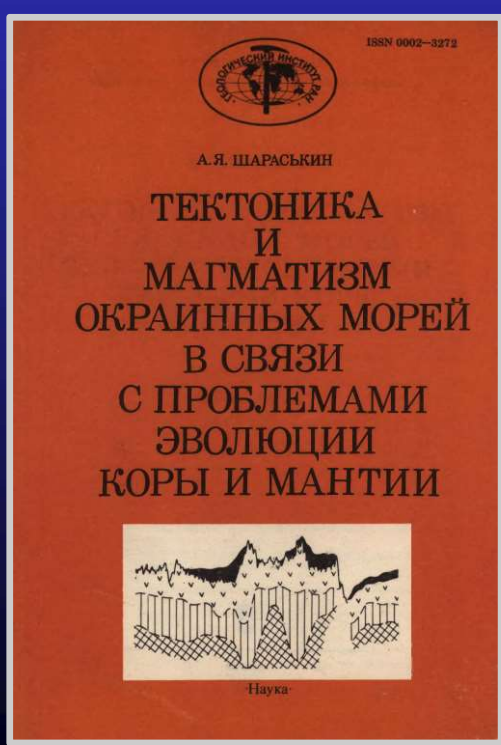


Магматические формации офиолитовых разрезов



Офиолиты глубоководных желобов - это древняя океаническая кора, которая вскрывается в зонах субдукции, что дает возможность для изучения ее строения и вещественного

состава.

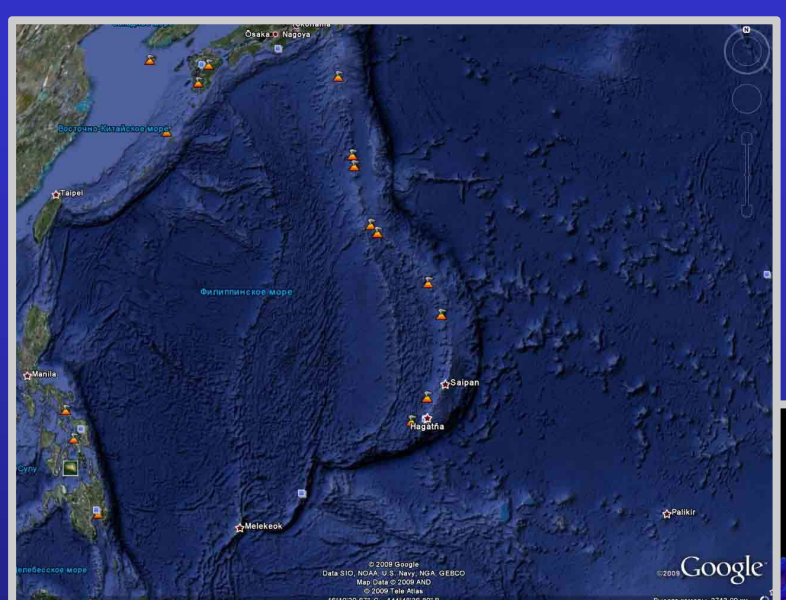


Типичный разрез офиолитов Омана

Вулканический комплекс офиолитов: формация толеитовых базальтов

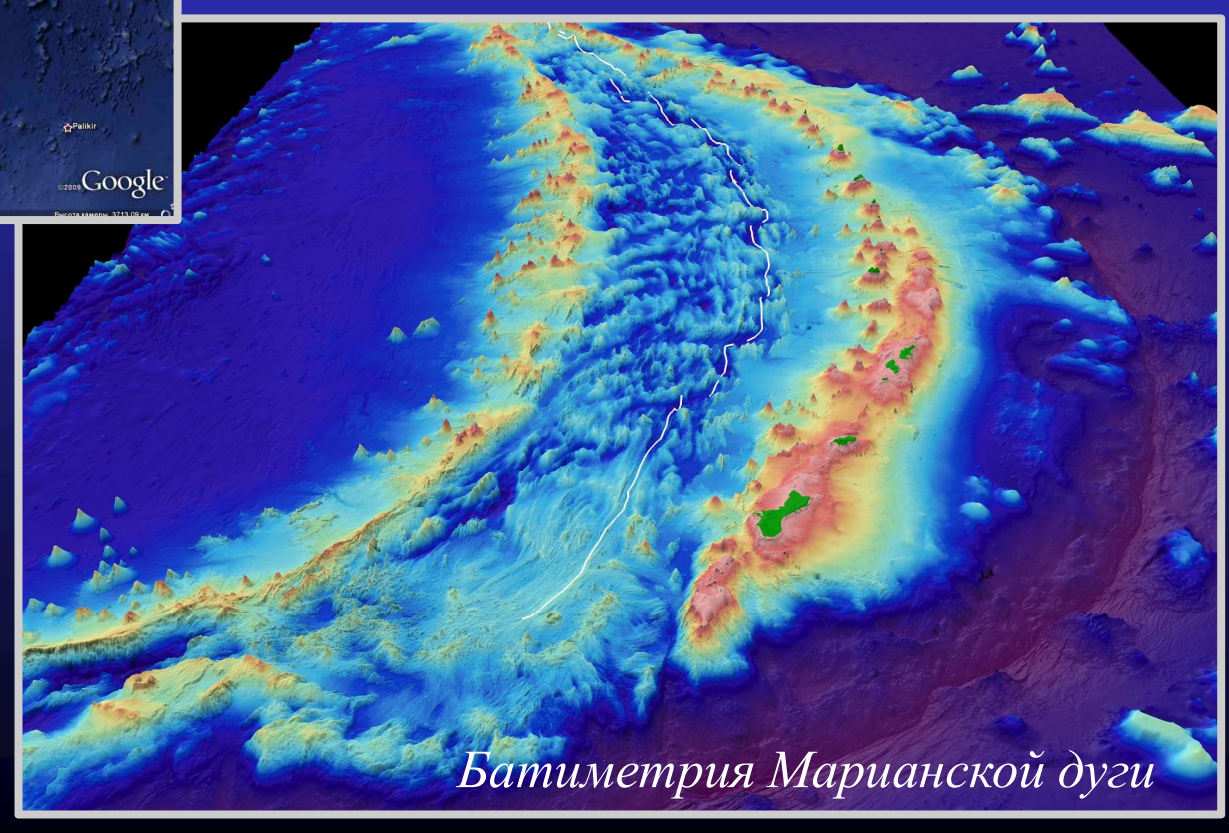
- Включает подводные базальты и ферробазальты в ассоциации с флишоидными и кремнистыми осадками. Обычно они залегают непосредственно на базит-гипербазитовых расслоенных комплексах (желоба Тонга Идзу-Бонинский, Марианский).
- Это порфировые, реже афировые породы, где в парагенезисе вкрапленников преобладают плагиоклаз (An₇₀₋₈₀) и авгит. Часто встречаются двупироксеновые разности. Оливин имеет подчиненное распространение и всегда содержит высоко хромистую шпинель. В основной массе присутствует титаномагнетит.
- По составу это гиперстен- и кварц-нормативные базальты, демонстрирующие тренды обогащения железом. Однако средние и кислые дифференциаты редки. От океанических базальтов типа МОRВ они отличаются развитием порфировых структур, обилием пироксенов и более высокой насыщенностью кремнеземом.
- Здесь несколько повышены содержания калия и литофильных элементов Rb, Zr, Sr. На спайдеграммах они демонстрируют четкий Nb-Ta минимум островодужного типа.

Вулканический комплекс офиолитов: бонинит-базальтовая формация



Бонинит-базальтовая формация распространена в Западно-Тихоокеанской окраине и обычно ассоциирует с плутоническим комплексом офиолитов, вскрытых в основании преддуговых склонов.

Породы этой формации экспонированы также на поверхности некоторых островных дуг, например, на Бонинских островах и в Папуа-Новой Гвинее.

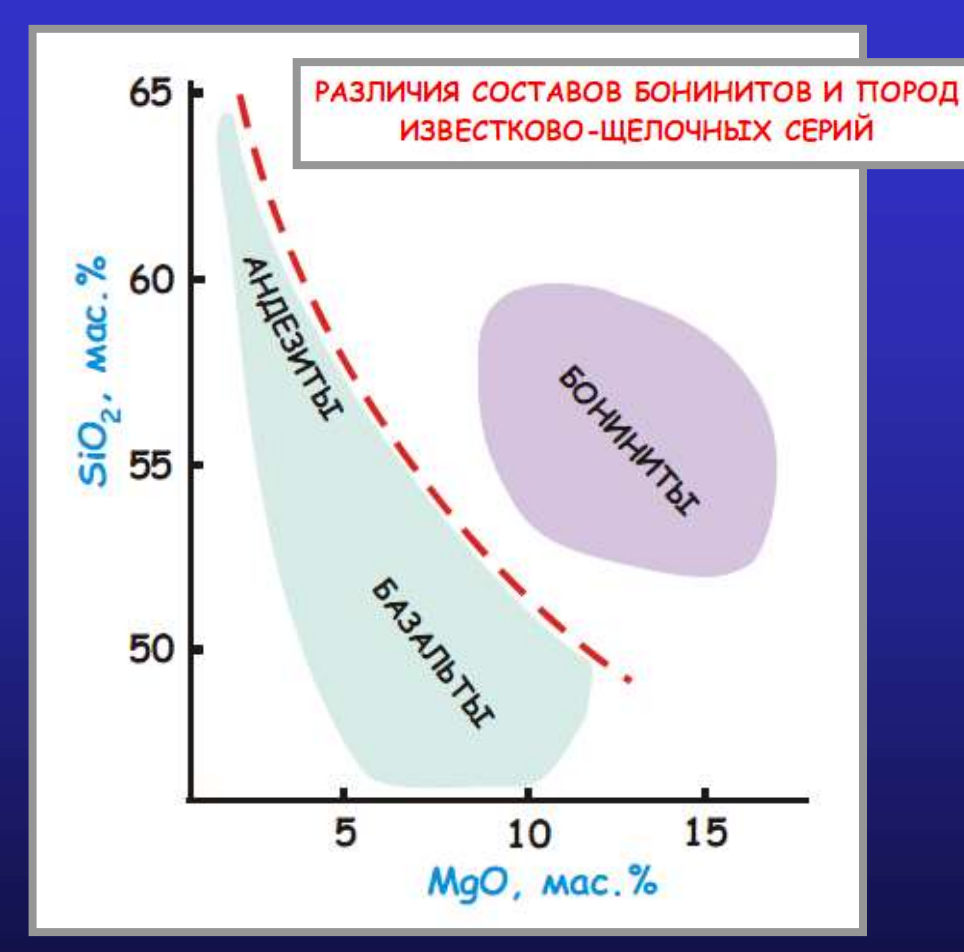


БОНИНИТЫ: Морфология и состав



Образец брекчированного бонинита

По сути – это разновидность высокомагнезиальных андезитов, обладающих признаками ультраосновных и одновременно средних пород.



Klingenberg & Kushiro (1996)

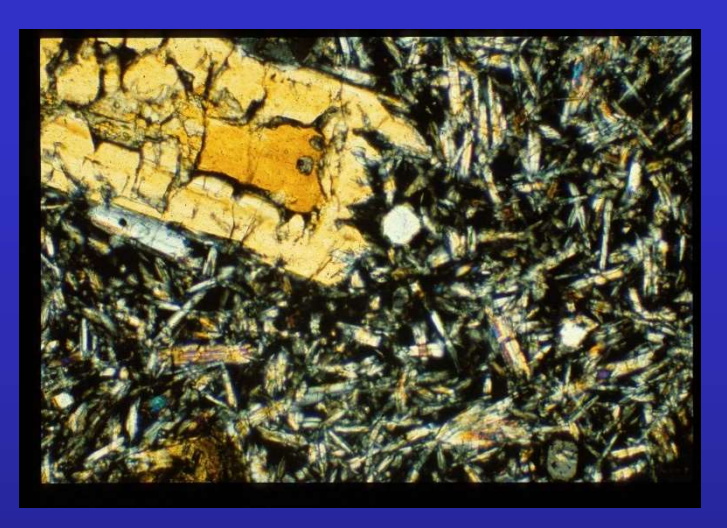
БОНИНИТЫ: Минералогия

Оливин (или без), хромит, клиноэнстатит, ортопироксен.

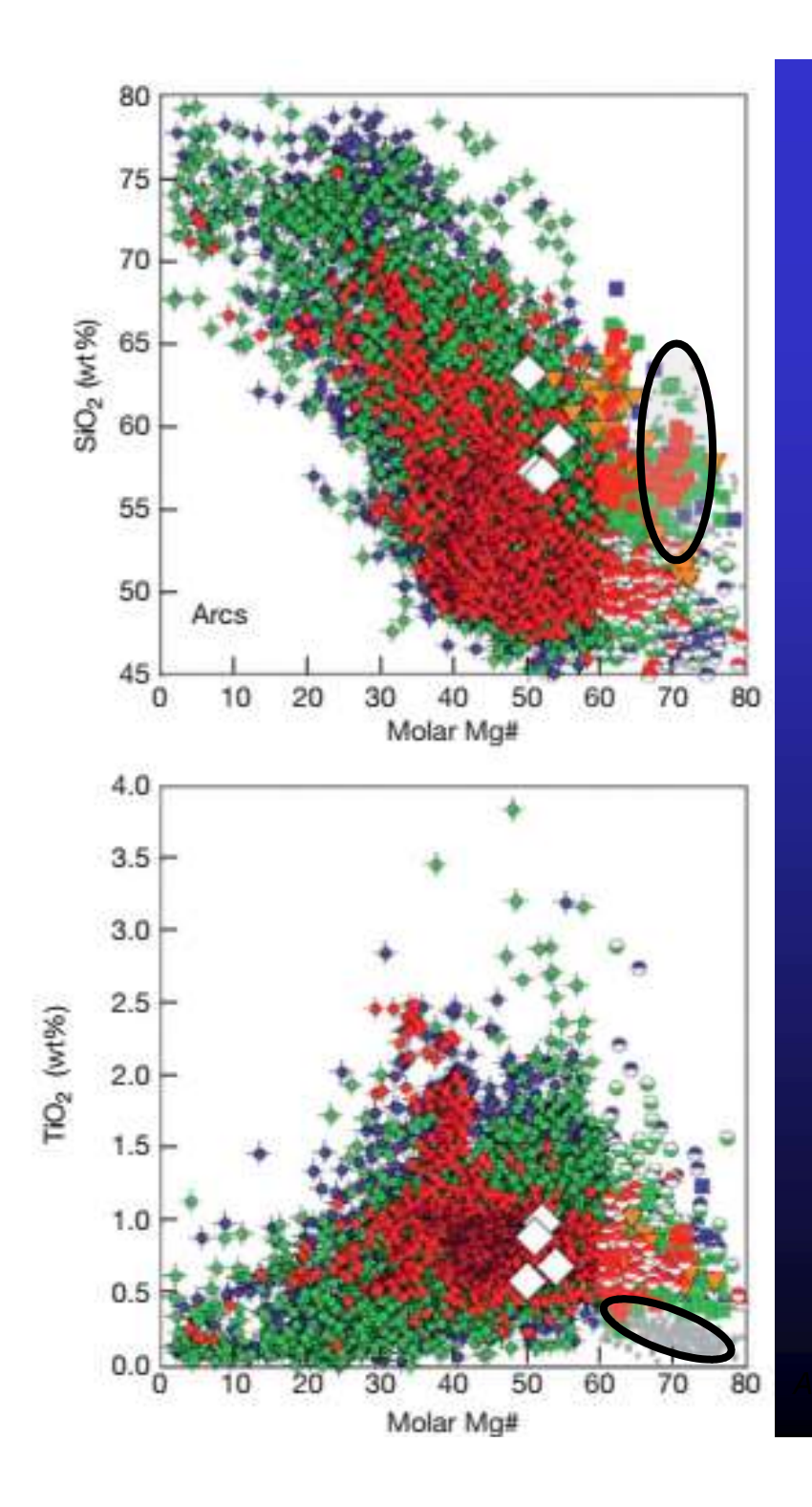
Типичный бонинит — это вкрапленники оливина (~40%), порядка 10% ортопироксена и редкие зерна Срх, погруженные в основную массу из мелких кристалликов зональных пироксенов, оливина и буроватого полупрозрачного стекла.

Клинопироксен во вкрапленниках близок диопсиду – высокой магнезиальности и богат хромом. Срх второй генерации – авгит.

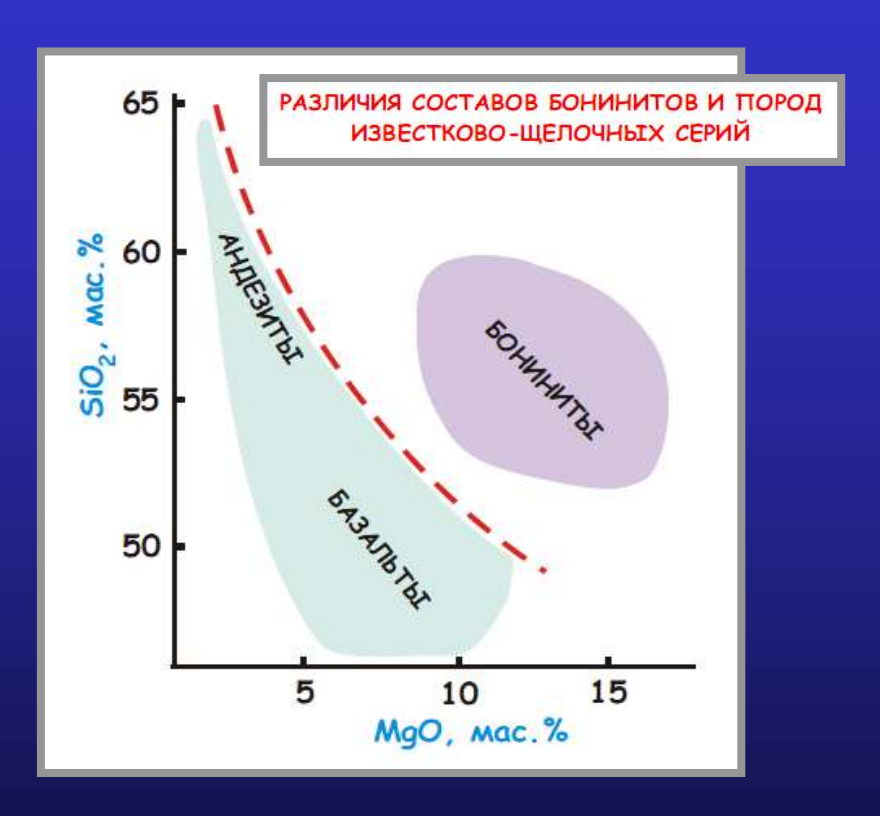
Стекло обычно имеет дацитовый состав (60-65% SiO_2) при содержании Al_2O_3 до 16-17%.



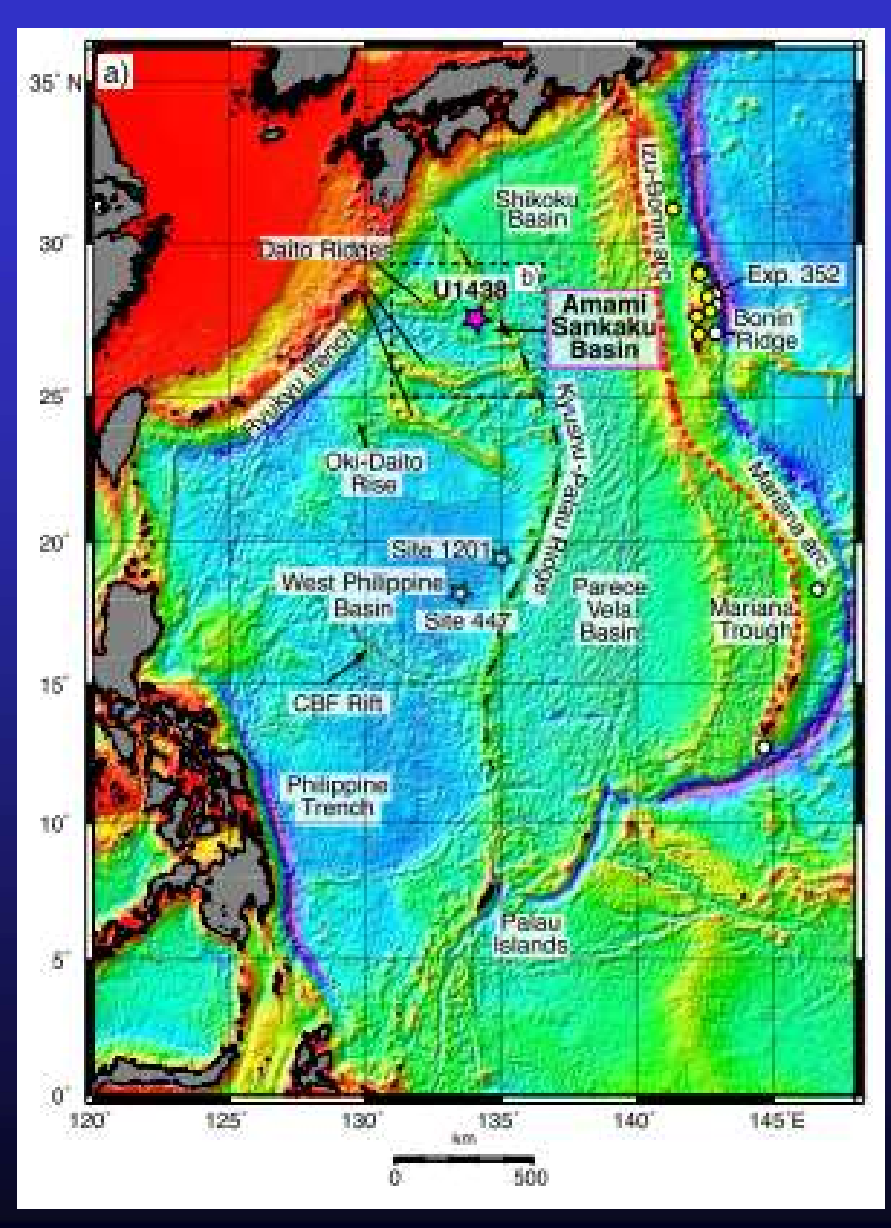
Зональный вкрапленник Орх с реликтовым ядром в тонко раскристаллизованной основной массе



БОНИНИТЫ: Химический состав



IBM arc: Идзу - Бонин - Марианская дуга



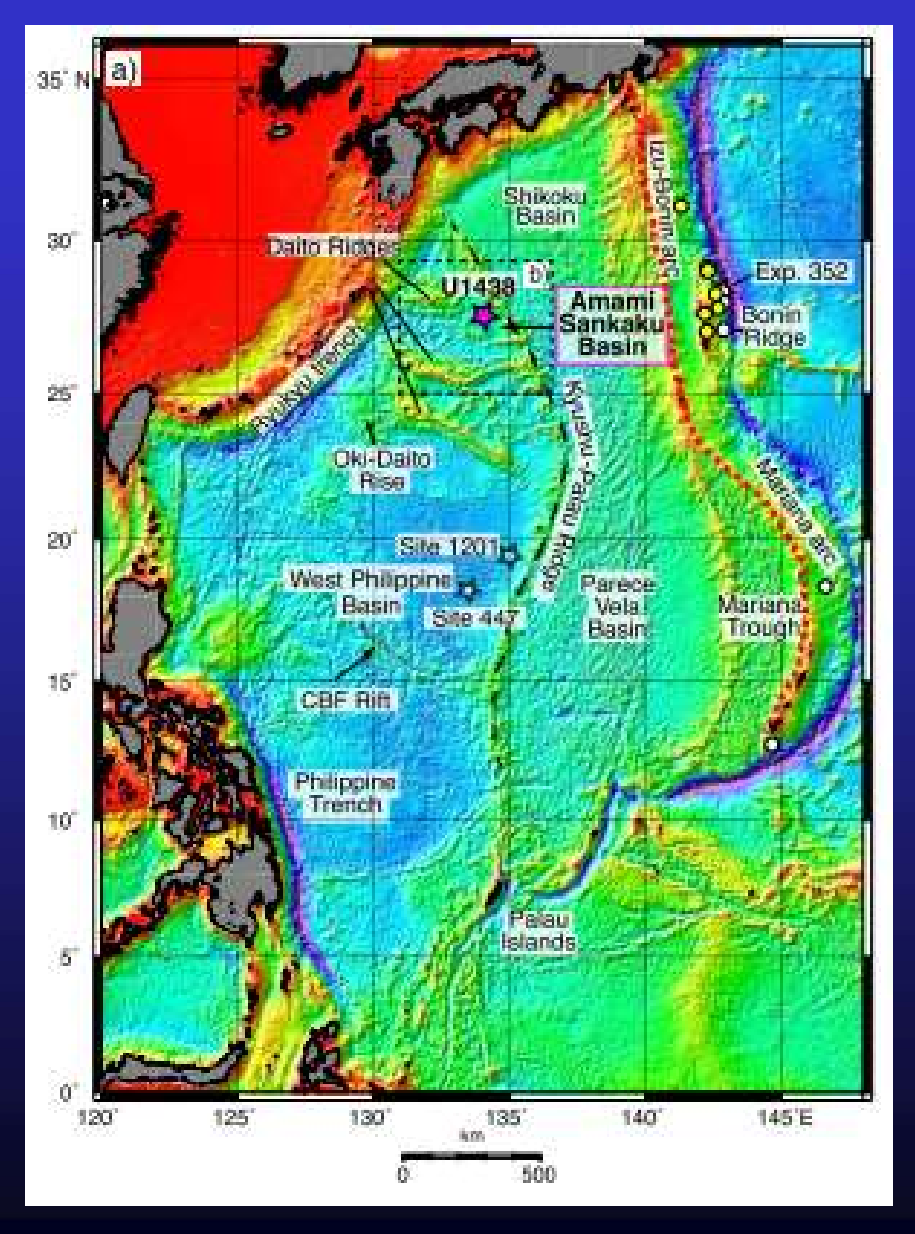
After Ishizuka et al. (2018)





Аогашима – самый южный остров архипелага Идзу

IBM arc: Идзу - Бонин - Марианская дуга



IBM fore-arc



Островодужные толеиты и ИЩ-серии

Высоко-Mg андезиты

Бонинит-андезитриолит

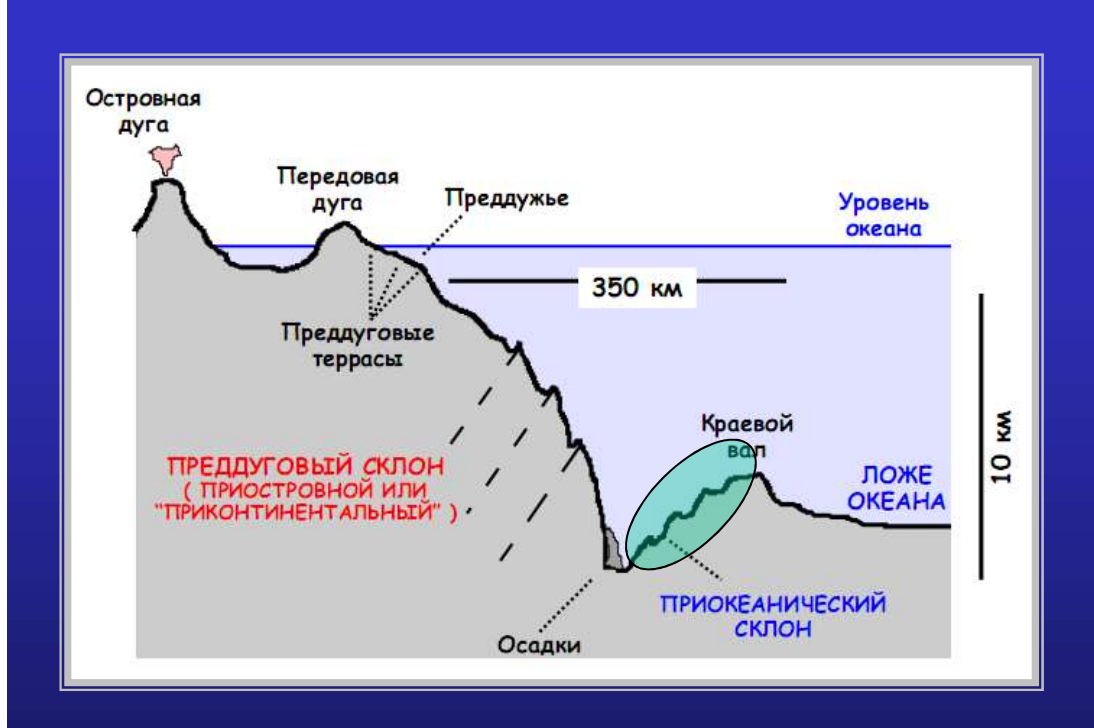
Преддуговые базальты / дайки

Габбро

Перидотиты

After Ishizuka et al. (2018)

Разрезы <u>приокеанических</u> склонов глубоководных желобов

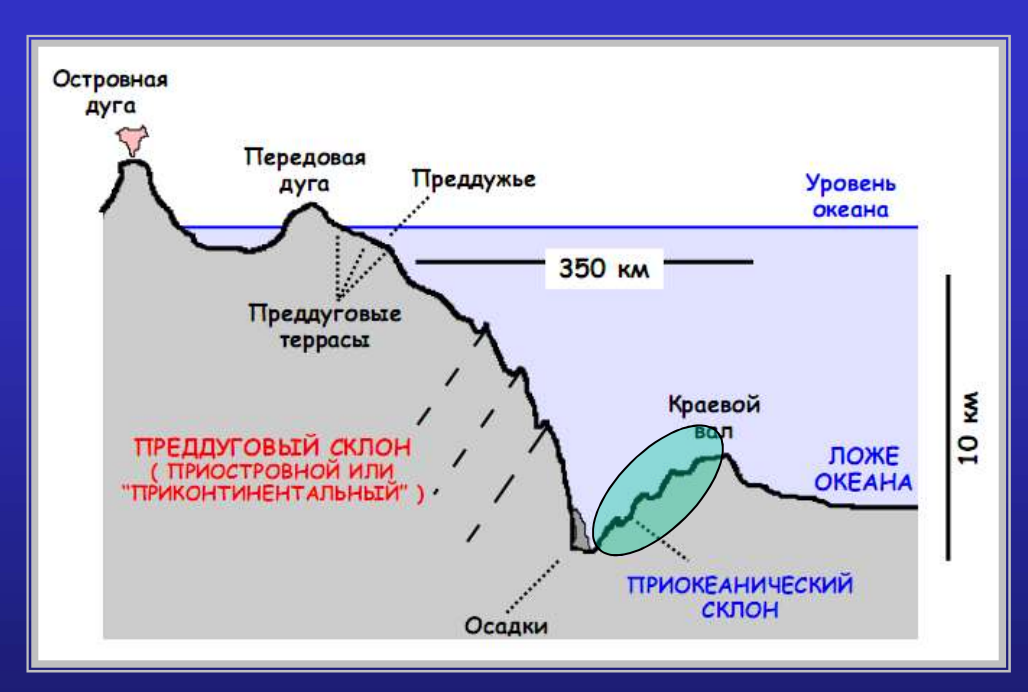


Обычно в их основании залегают пиллоу-лавы субщелочных (реже толеитовых) базальтов мелового возраста, которые часто сопровождаются долеритами и габбро.

Местами они подвергнуты зеленокаменному изменению.

В отдельных желобах (в частности, Курильском) здесь установлены породы известково-щелочной серии. Завершают эти разрезы также осадочные породы неогенового и четвертичного возраста.

Формации <u>приокеанических</u> склонов *глубоководных желобов*



Формации приокеанических склонов могут быть представлены однородными толеитовыми и субщелочными базальтами, контрастными (напр. базальт-трахидацит-трахидацит-трахидацит-трахидацит-трахидацит-трахидацит-трахидацит-трахириолит.

Вещественный состав этих ассоциаций разнообразен, но в целом, преобладают субщелочные и высокотитанистые серии, близкие продуктам внутриплитного магматизма.....???

В ассоциации с этими эффузивами встречаются полнокристаллические долериты и диабазы, а также вулканогенно-осадочные породы.

Проявления молодого вулканизма внутри глубоководных желобов

- Возраст 5-8 млн. лет.
- Представлен базальтами из осевой зоны или приокеанического склона желобов (Перуанско-Чилийский, Центрально-Американский, Марианский и др. желоба).
- От типичных MORB отличаются преобладанием Срх над OI во вкрапленниках и пониженным содержанием Ti, Zr, Nb, Ta, Hf.
- Толеитовая тенденция обогащения железом.
- Факт наличия молодого вулканизма в желобах указывает на отсутствие погружения коры по крайней мере, с неогена. Иначе "даже при минимальных скоростях субдукции базальты желобов неминуемо погрузились бы на глубину" (Дмитриев, 1987).

Выводы о тектоно-магматической эволюции глубоководных желобов

Кайнозойский разрез, экспонированный на склонах со стороны вулканических фронтов, *сложен формациями, характерными для островных дуг и орогенных континентальных поясов*.

Наличие несогласий, чередование вулканических и осадочных формаций свидетельствуют о цикличности магматических процессов при эволюции активных окраин. СТАДИЙНОСТЬ!

Наиболее крупное поднятие и перерыв пришлось на границу мела и палеогена, когда часть офиолитов в поднимающихся блоках оказалась выведена на земную поверхность.

После этого погружения стали преобладать над поднятиями и началось формирование отрицательной структуры - желоба.

Наиболее интенсивное погружение желобов произошло в конце плиоцена - начале плейстоцена. Оно продолжается и поныне.

происхождение бонинитов

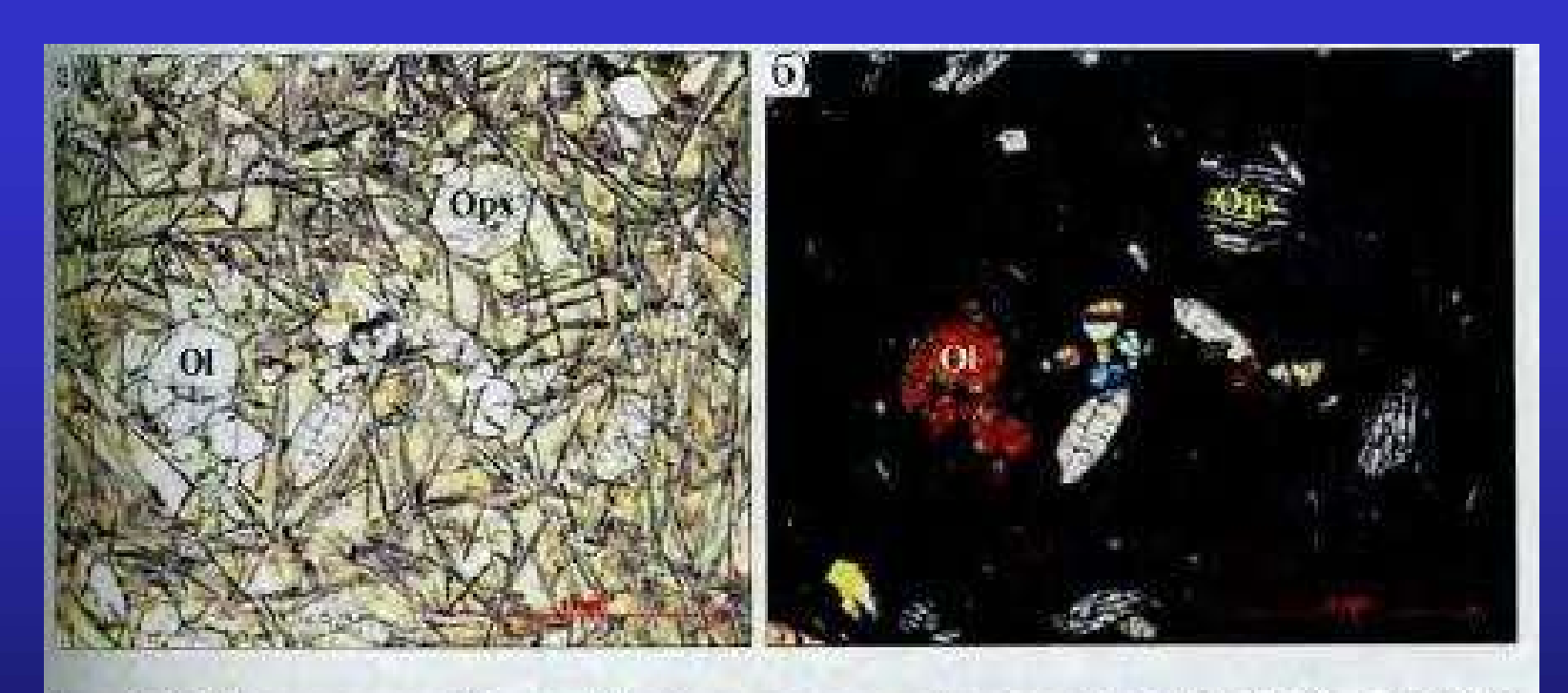


Рис. 6.11. Бонинит, о. Новая Каледония: а — при одном николе; б — николи крещены. Вкрапленники представлены оливином и ортопироксеном. Осковная масса сложена скелетными кристаллами орто- и клинопироксена, погруженными в стекловатый матрикс.

Ol + Opx + (uacmo) CEn

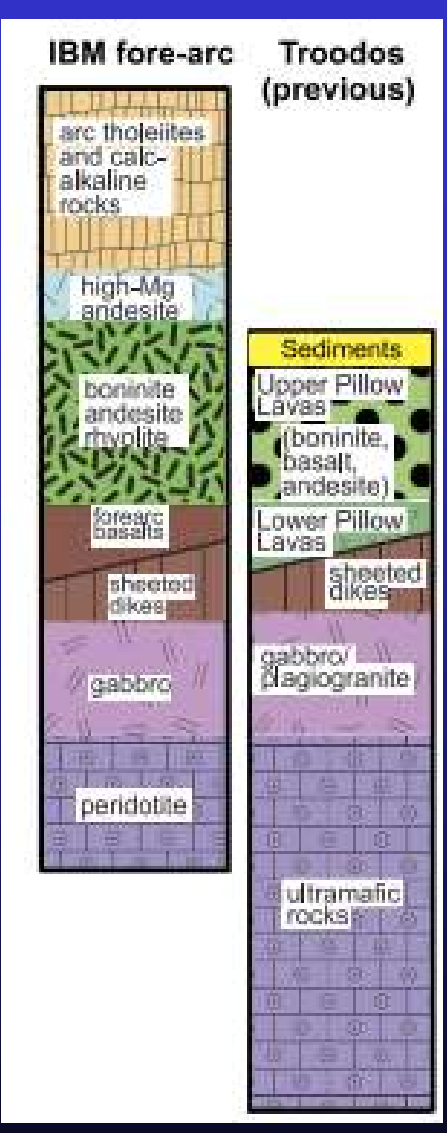
Оксиды	Марианский желоб	О-ва Бонин Япония (SW)		Средний бонинит (n=/34)	
	Геогогия и петропогия, 1991		Talsund, Eggins, 1995		Drummond et al., 1996
SiO ₂	54.91	55.49	57.60	59.59	58.74
TiO ₂	0.12	0.18	0.26	0.44	0.23
Al ₂ O ₃	6.58	10.37	11.06	13.55	11.22
FeO	10.26	8.65	8.78	6.32	8.53
MnO	0.16	0.17	0.17	0.12	0.17
MgO	22.16	16.50	12.31	9.65	12.09
CaO	3.38	5.60	7.74	6.24	6.77
Na ₂ O	1.48	1.64	1.64	2.66	1.69
K ₂ O	0.91	0.80	0.42	1.30	0.47
P ₂ O ₅	0.03	0.14	0.02	0.13	0.09
mg#	0.79	0.77	0.72	0.74	0.72
Cr					969
Ni					223

Составы пород бонинитмарианитовых серий

Составы высоко-Са и низко-Са бонинитов

A 2 and 5 = 5	Высоко-Са	Низко-Са		
Оксиды	Троодос (Kunp)	О-ва Бонин (Япония)	Мыс Фогеля (Папуа Новая Гвинея)	
SiOz	54.93	58.82	59.34	
TiO ₂	0.51	0.14	0.51	
Al ₂ O ₃	13.15	11.06	10.62	
FeO	8.20	8.43	9.27	
MnO	8	14	-	
MgO	11.52	11.71	12.57	
CaO	10.21	7.79	5.74	
Na ₂ O	1.17	1.61	1.37	
K ₂ O	0.26	0.42	0.49	
P ₂ O ₅	0.04	0.02	0.10	
mg#	0.715	0.712	0.707	
CaO/Al ₂ O ₃	0.77	0.70	0.54	
Cr	807	695	910	
Ni	202	194	227	

(Van Der Laan et al., 1989)



After Woelki et al. (2018)

Тони Кроуфорд (Tony Crawford) и Росс Ладж (Ross Large)

Тасмания-2006

1 Classification, petrogenesis and tectonic setting of boninites

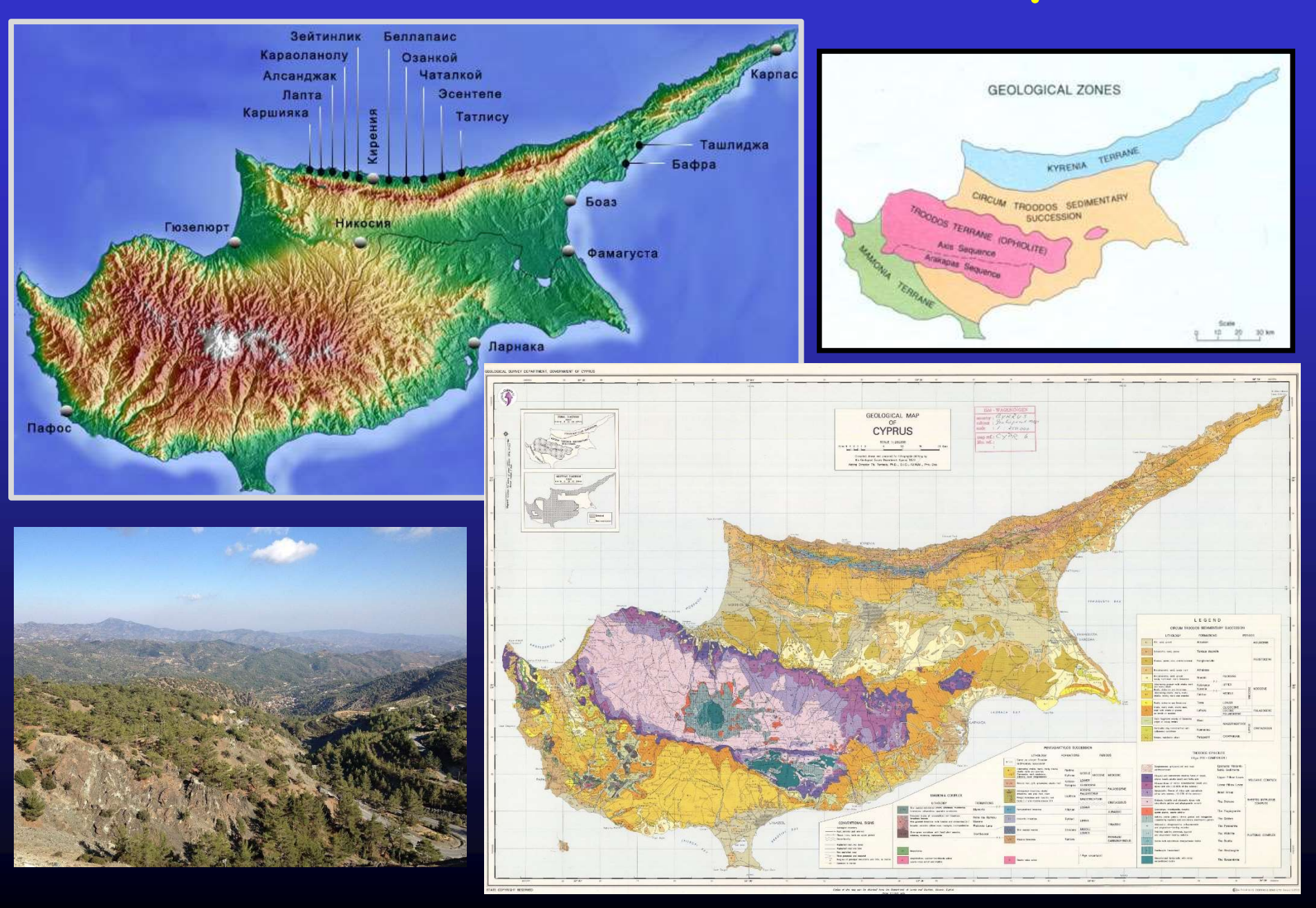
ANTHONY J. CRAWFORD,

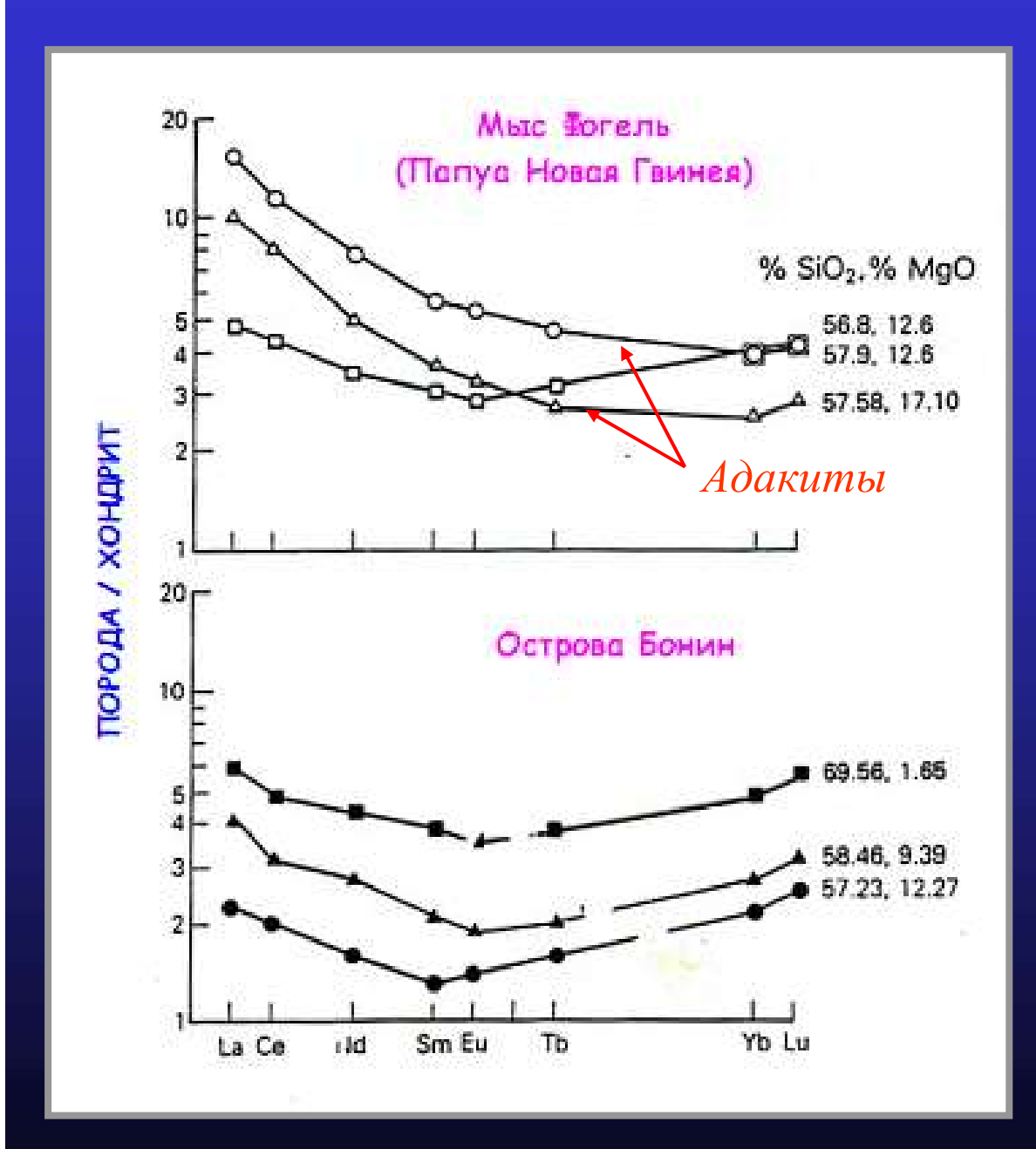
Abstract

Based on major-element compositions, boninites low-Ca and high-Ca suites. High-Ca boninites, Pillow Lavas of the Troodos Ophiolite in Cypru and $CaO/Al_2O_3 > 0.75$. They generally contain o and may crystallize both high-Ca and low-Ca p microphenocrysts; their high-CaO nature inhib ation.

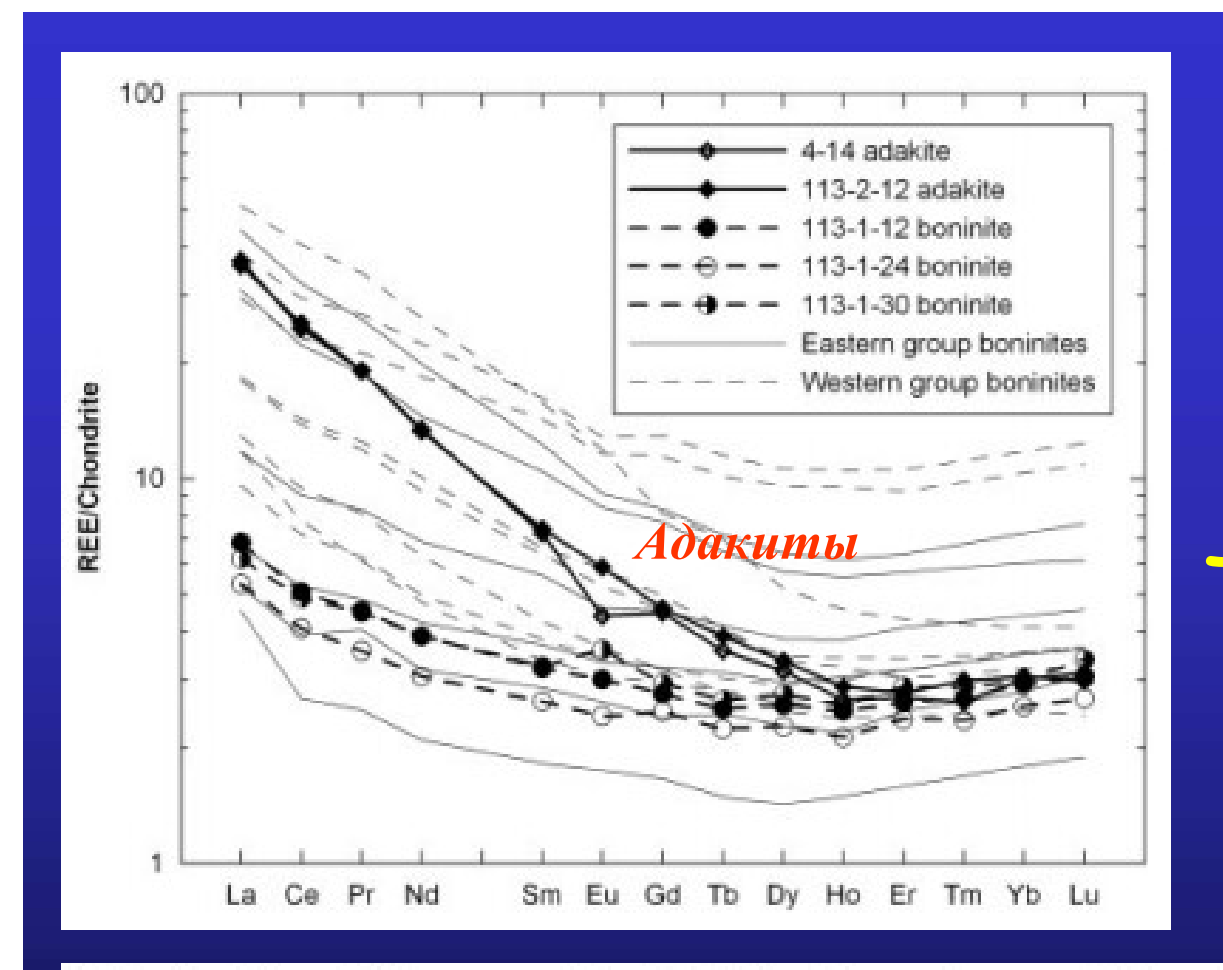


Высоко-Са бониниты массива Троодос





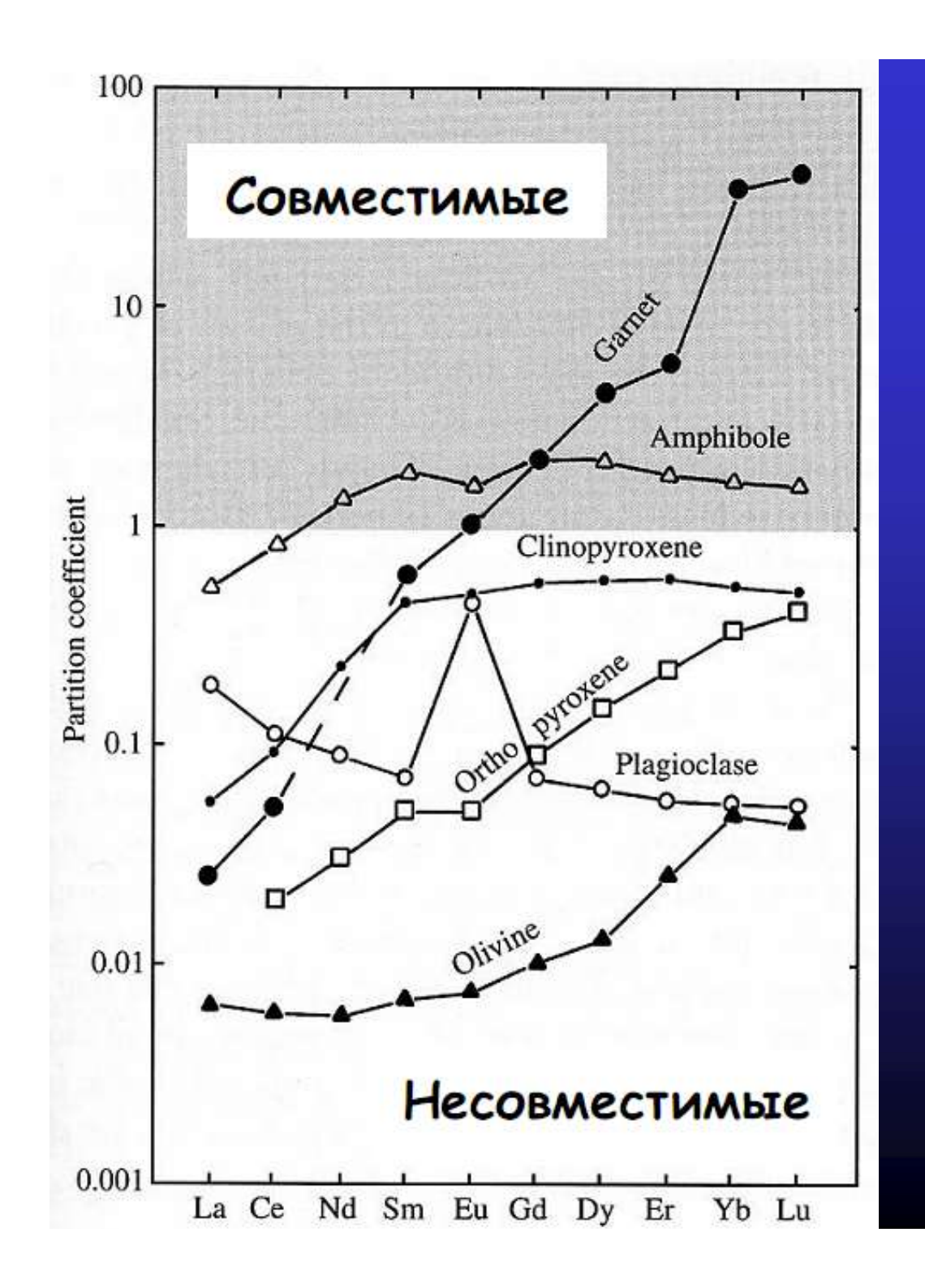
Распределение
РЗЭ в низко-Са
бонинитах
островов Бонин и
Папуа Новая
Гвинея



Распределение
РЗЭ в низко-Са
бонинитах сев.
окончания дуги
Тонга (Falloon et al.,
2008)

Fig. 5. Chondrite-normalized REE patterns for coexisting boninites and adakites from the northern termination of the Tonga Trench. Data

U-образная форма распределенеия спектров может указывать на тугоплавкий (пироксенитовый) мантийный источник.



Коэффициенты распределения РЗЭ в базальтовой системе

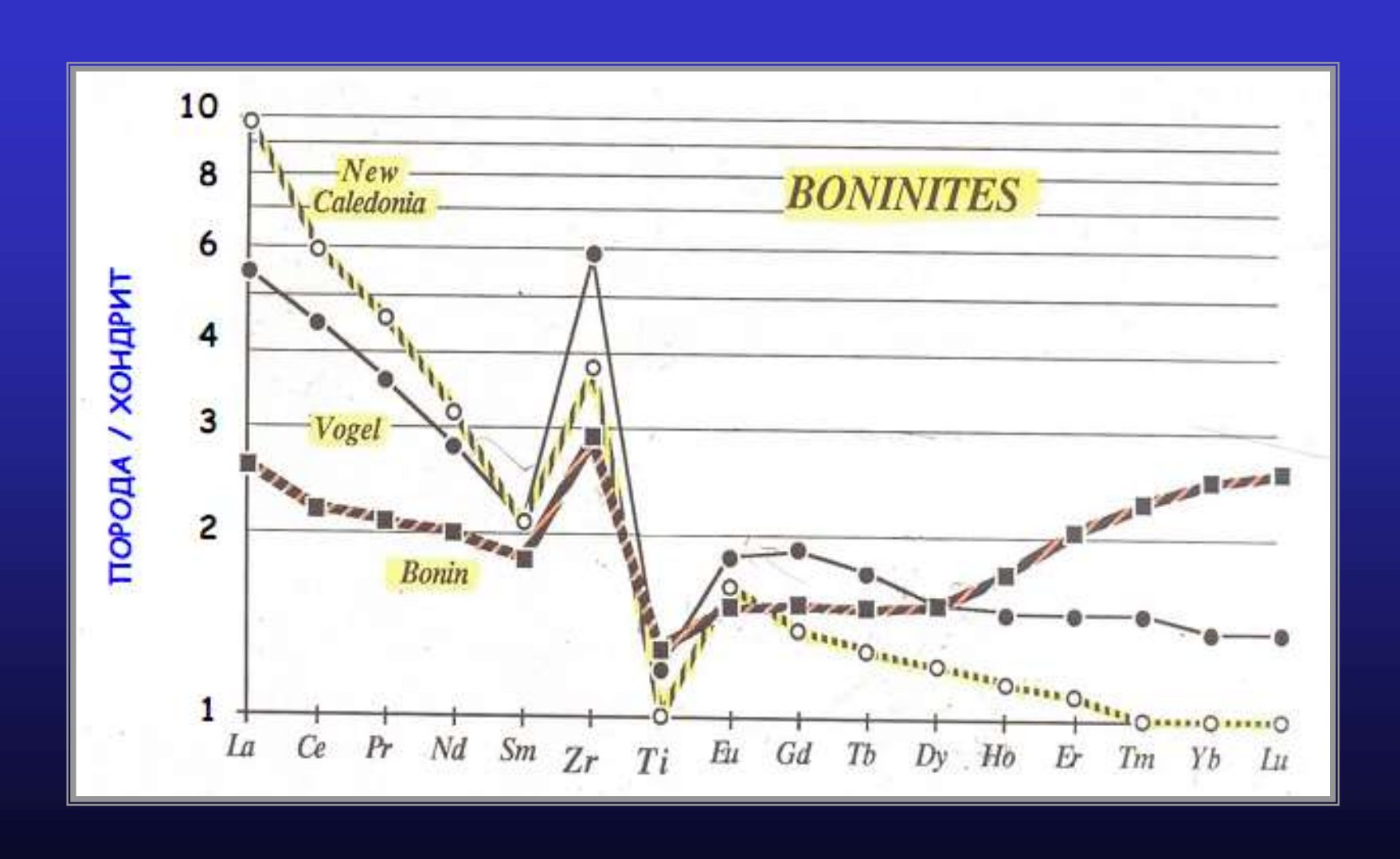
Срх или амфибол?

Пироксениты (верлиты!) или амфиболиты?

Аргументы за верлитовый источник бонинитов кумулусной природы

- Высокие значения mg# 90-91 и выше
- Высокие содержания SiO2 в выплавках
- Низкие содержания ТіО2
- Переменность Са/АІ отношения из-за разной степени плавления Срх в источнике
- U-образная форма РЗЭ-спектров
- Неизбежность существования верлитовых резервуров как продуктов кристаллизации анкарамитовых и примитивных известковощелочных магм! как полагает AAA...

Zr-максимум и Ti-минимум как типоморфные сигналы бонинитовых магм



Спайдердиаграммы для других бонинитов

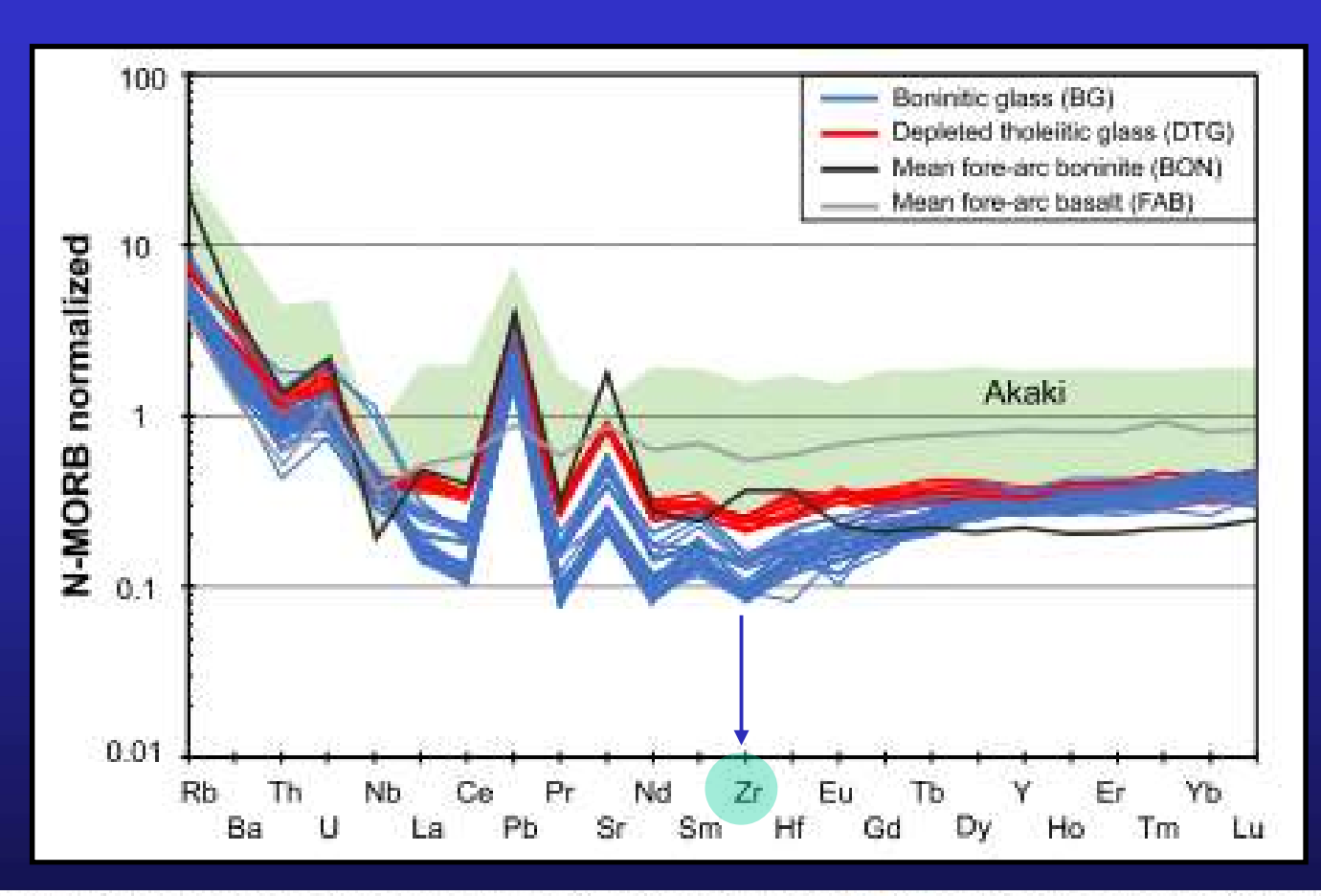


Fig. 3. Trace element composition of the Parekklisia glasses normalised to N-MORB (Sun and McDonough, 1989). Green field shows composition of glasses from Akaki Canyon (Rautenschlein et al., 1985; Regelous et al., 2014). Mean fore-arc basalt (FAB) and boninite (BON) for comparison (data sources as in Fig. 2). Note enrichment in fluid soluble elements in all Troodos lawas compared to MORB, the relative Nb and LREE enrichment in the most depleted Troodos lawas, and lack of Zr enrichment relative to Sm. (For interpretation of the colours in the figure(s), the reader is referred to the web version of this article.)

УСЛОВИЯ ОБРАЗОВАНИЯ БОНИНИТОВ:

Протопироксен

как типоморфная фаза

Оксиды	Марианский желоб	О-ва Бонин Япония (SW)		Средний бонинит (n=134)	
	Геология и петропогия 1991		Talsund, Eggins, 1995		Drummond et al., 1996
SiO ₂	54.91	55.49	57.60	59.59	58.74
TiO ₂	0.12	0.18	0.26	0.44	0.23
Al ₂ O ₃	6.58	10.37	11.06	13.55	11.22
FeO	10.26	8.65	8.78	6.32	8.53
MnO	0.16	0.17	0.17	0.12	0.17
MgO	22.16	16.50	12.31	9.65	12.09
CaO	3.38	5.60	7.74	6.24	6.77
Na ₂ O	1.48	1.64	1.64	2.66	1.69
K ₂ O	0.91	0.80	0.42	1.30	0.47
P ₂ O ₅	0.03	0.14	0.02	0.13	0.09
mg#	0.79	0.77	0.72	0.74	0.72
Орх	55.7	53.7	40.1	31.6	41.2
Qtz	0	1.3	7.9	8.7	10.2

Составы пород бонинитмарианитовых серий

Ol + Opx + (vacmo) CEn

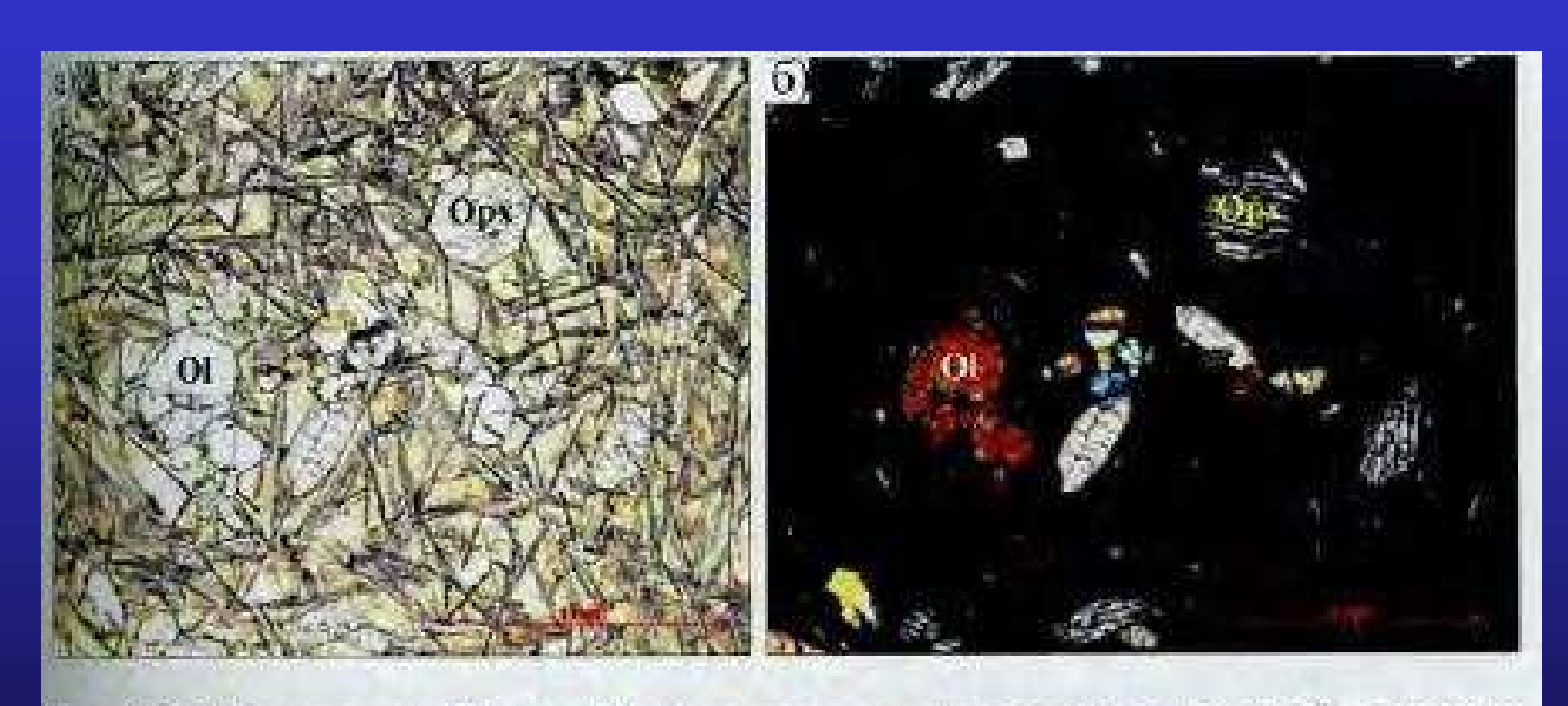


Рис. 6.11. Бонинит, о. Новая Каледония: а — при одном николе; б — николи скрещены. Вкрапленники представлены оливином и ортопироксеном. Основная масса сложена скелетными кристаллами орто- и клинопироксена, погруженными в стекловатый матрикс.

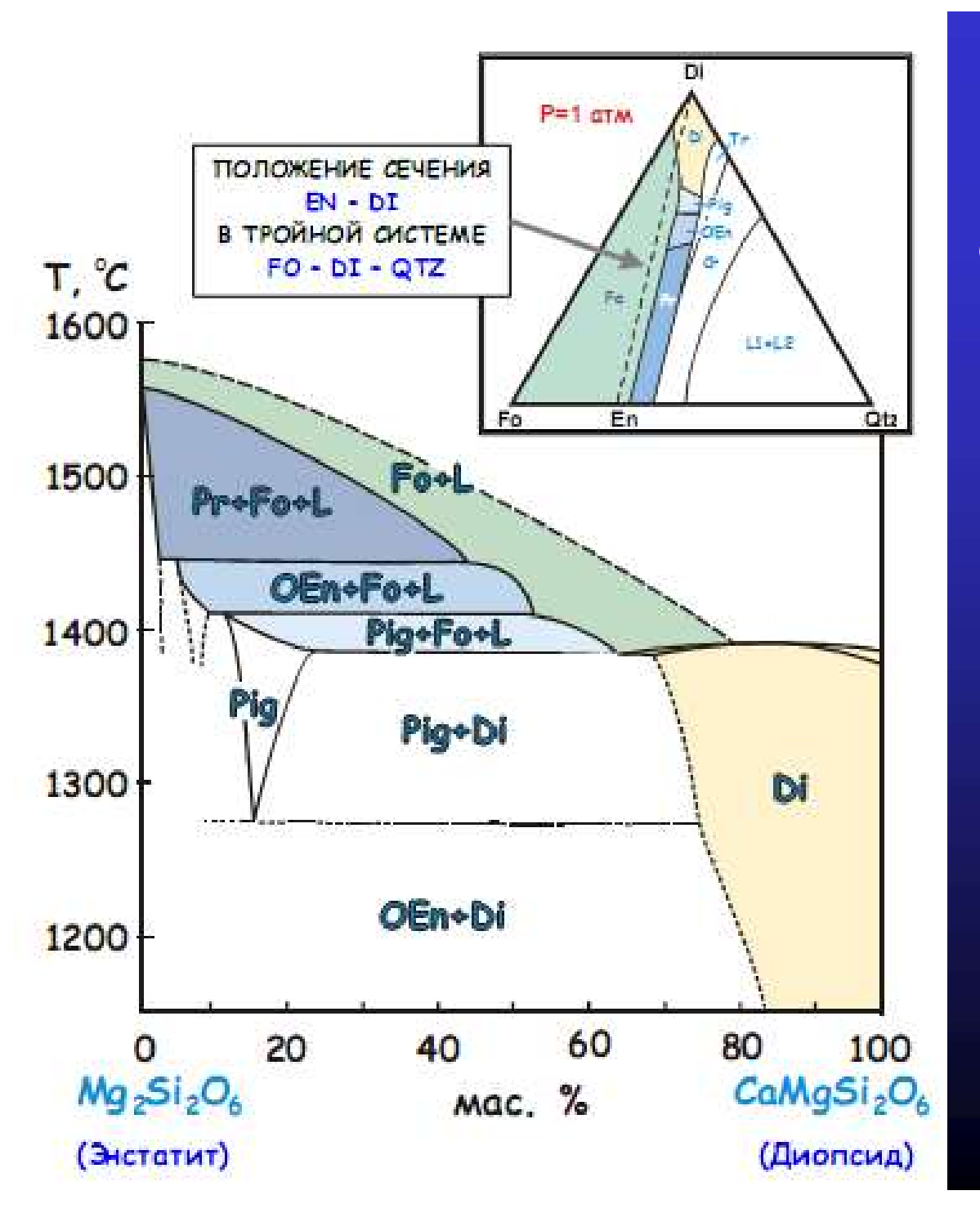
Clinoenstatite in boninites from the Bonin Islands, Japan

<u>Keiichi Shiraki, Naoshi Kuroda, Hayaomi Urano</u> & <u>Shigenori Manuyama</u> <u>Nature</u> volume 285, pages31–32(1980)

Abstract

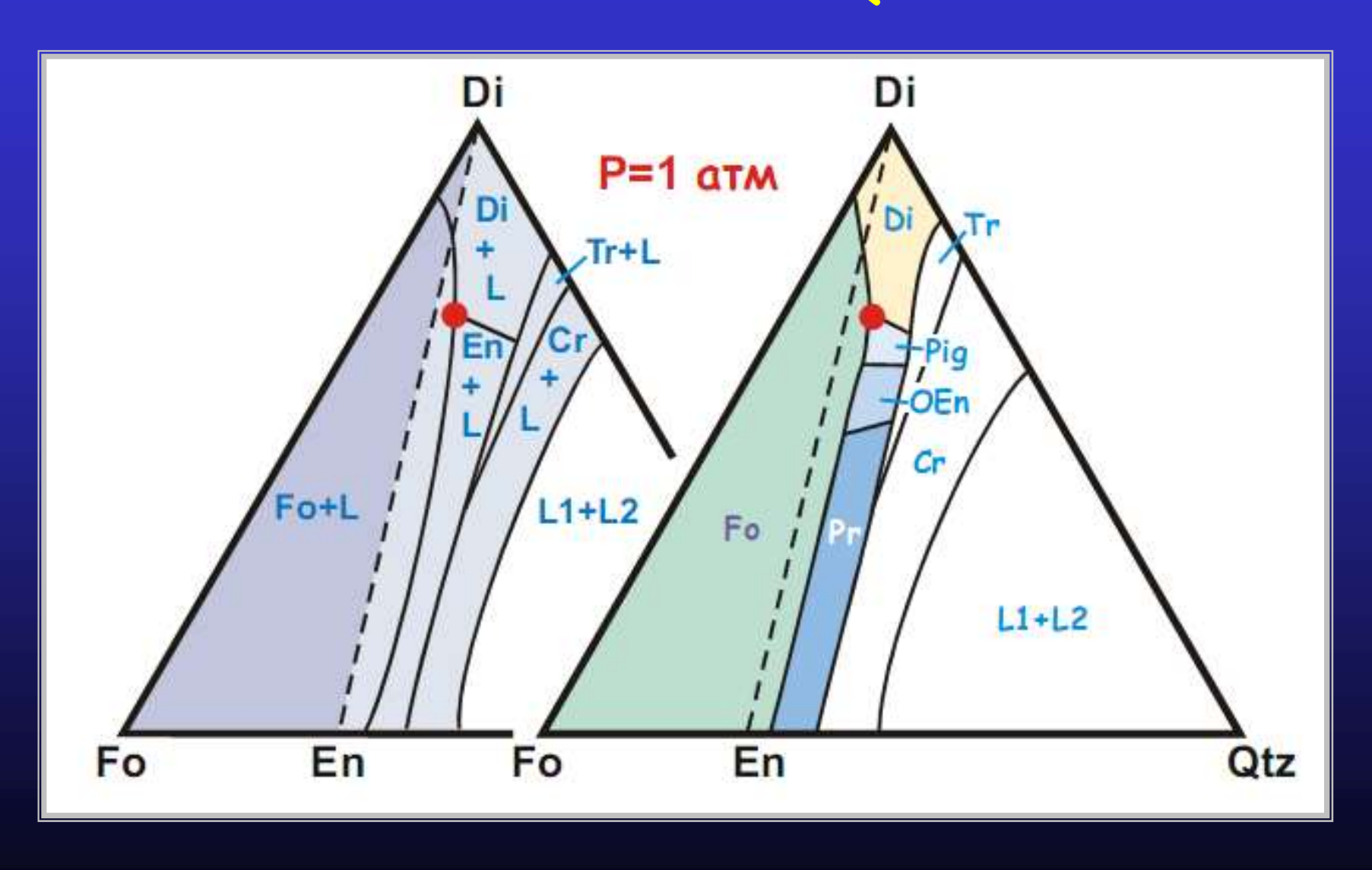
Protoenstatite is also a rare mineral and its terrestrial occurrence has been confined to the high-Mg andesites from Cape Vogel, eastern Papua⁸, and the Mariana Trench³. Some boninites from the Bonin Islands were found to contain abundant multiply-twinned clinoenstatite (inverted protoenstatite) with or without olivine. **The clinoenstatite, coexisting with olivine with a similar forsterite content to that in the mantle,** shows that protoenstatite crystallized later than the olivine, whereas in the olivine-free, clinoenstatite-bearing rock (which has more SiO₂ than the clinoenstatite-bearing or -free boninites with olivine), the protoenstatite may have been the liquidus mineral. We show here that the presence of inverted protoenstatite in the Bonin Islands confirms our earlier suggestion^{1,9,10} that boninites may have been formed by extensive partial melting of hydrous peridotite at relatively low

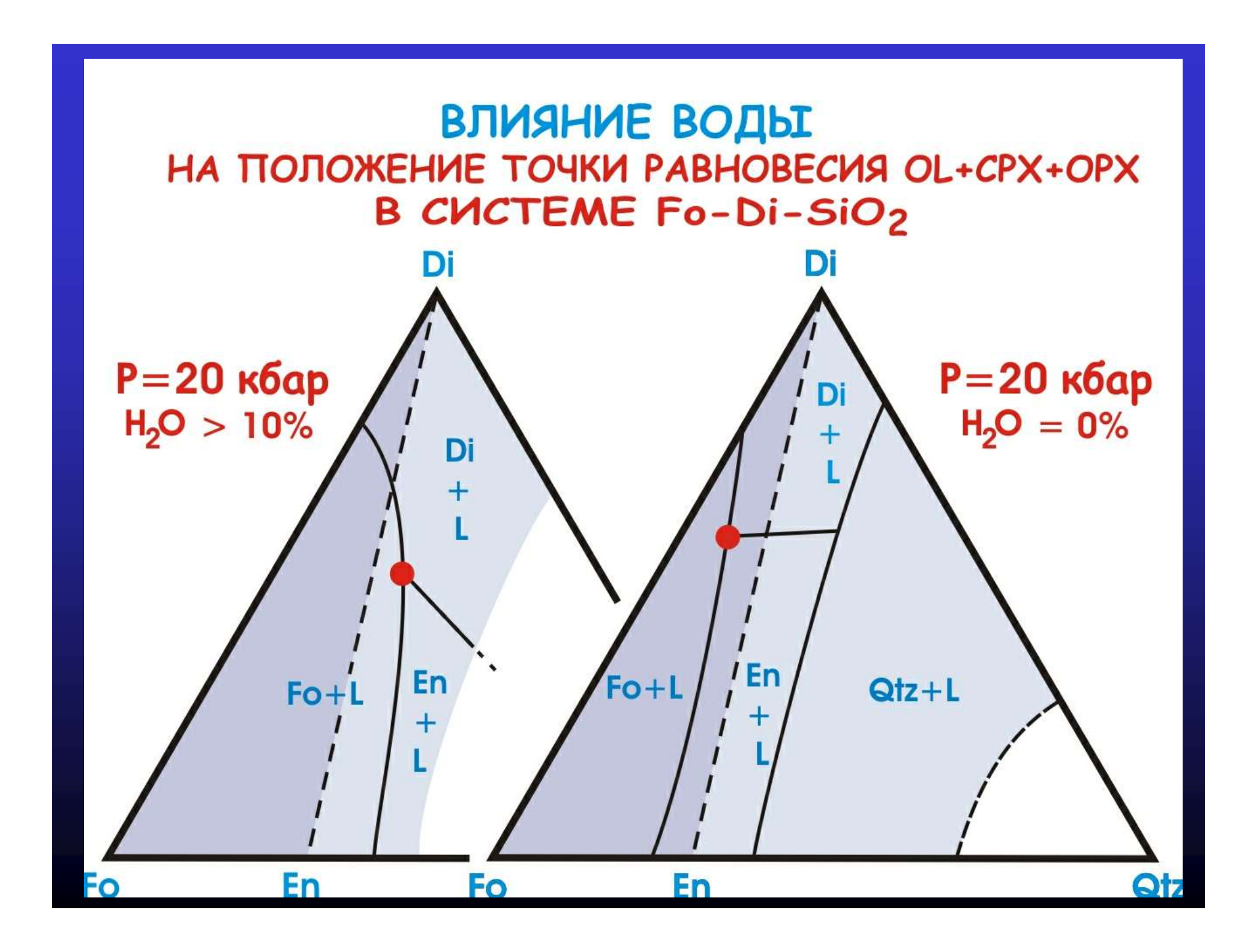
Islands confirms our earlier suggestion^{1,9,10} that boninites may have been formed by extensive partial melting of hydrous peridotite at relatively low pressures and rapid quenching from high temperatures at shallow depths.



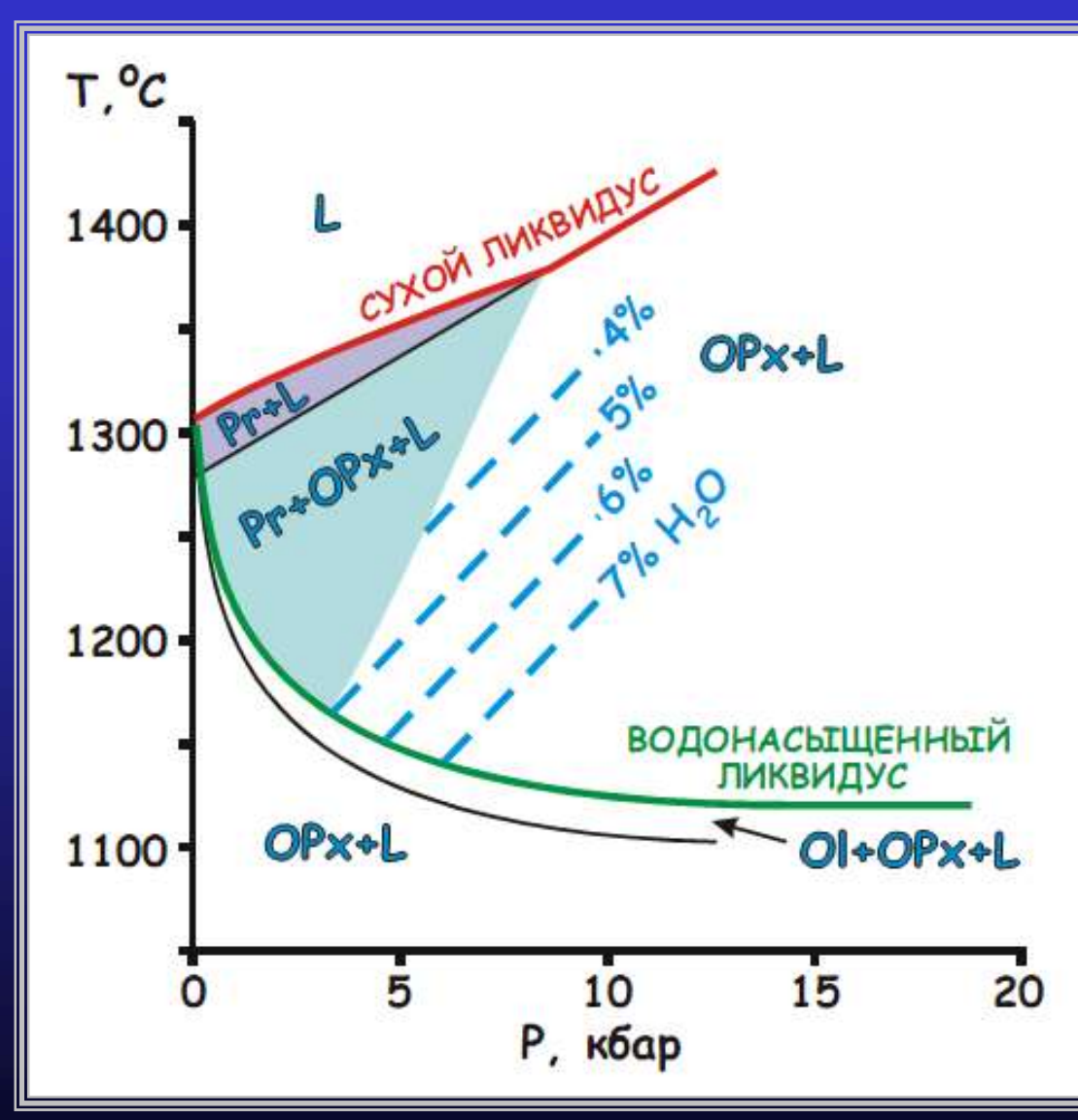
Соотношения низко-Са пироксенов в системах Fo-Di-Qtz и En-Di

Упрощенная (слева) и детализированная (справа) система Fo-Di-Qtz





Результаты экспериментов по плавлению



Umino & Kushiro (1983)

"Сеп-бонинитов" в сухой и водной системах

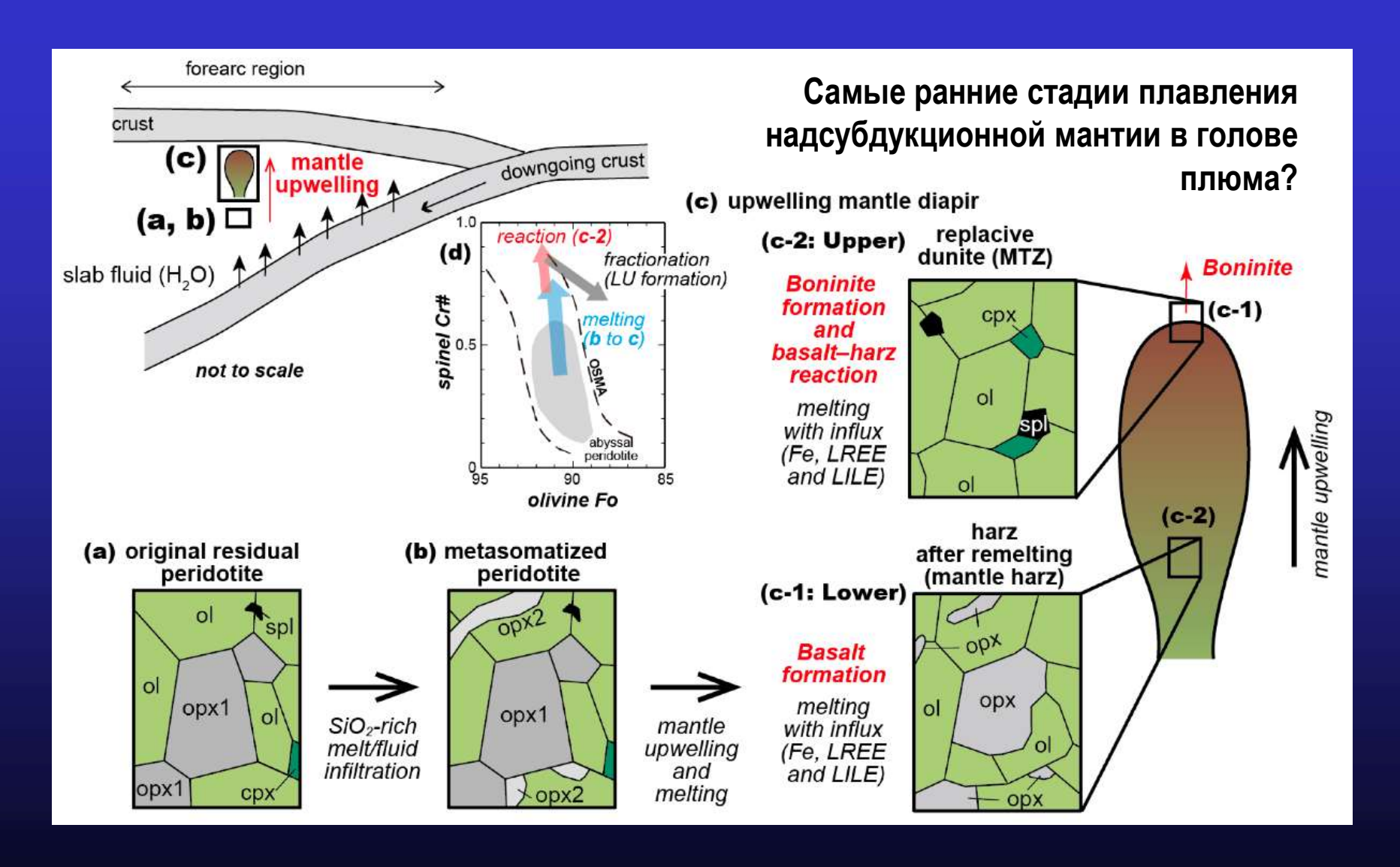
Ассоциации OI+Opx±Pr стабильны при 4-8 кбар

Котектика OI+Opx предполагает не менее $4 \text{ мас.} \% \text{ H}_2\text{O}$, если меньше – стабилен Pr!

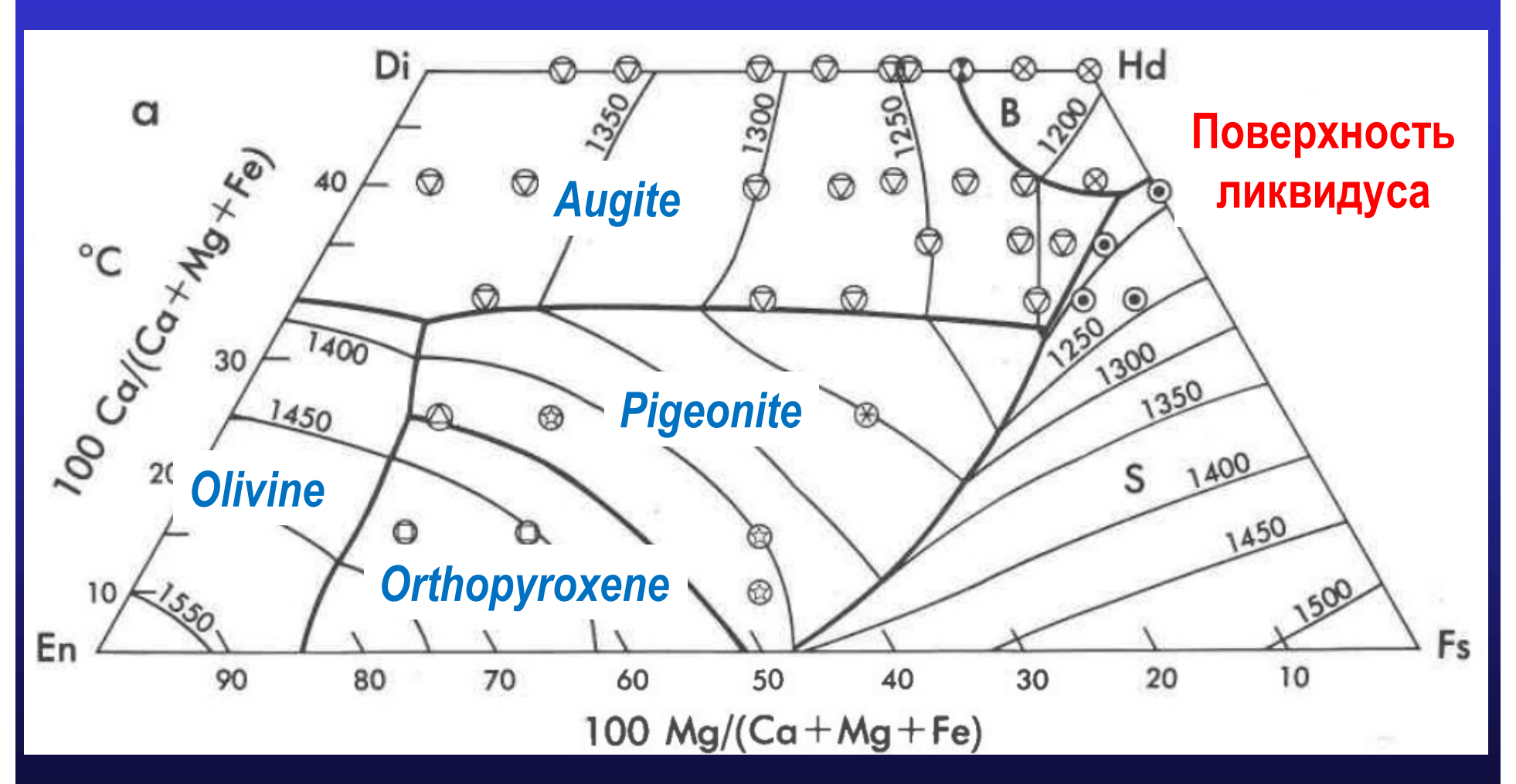
Значит образование бонинитовых магм отвечает плавлению мантии на глубинах 12-25 км, не более...

Это соответствует тонкой океанической коре IBM-дуги (приподнятой мантии)

Гипотетические сценарии образования бонинитов



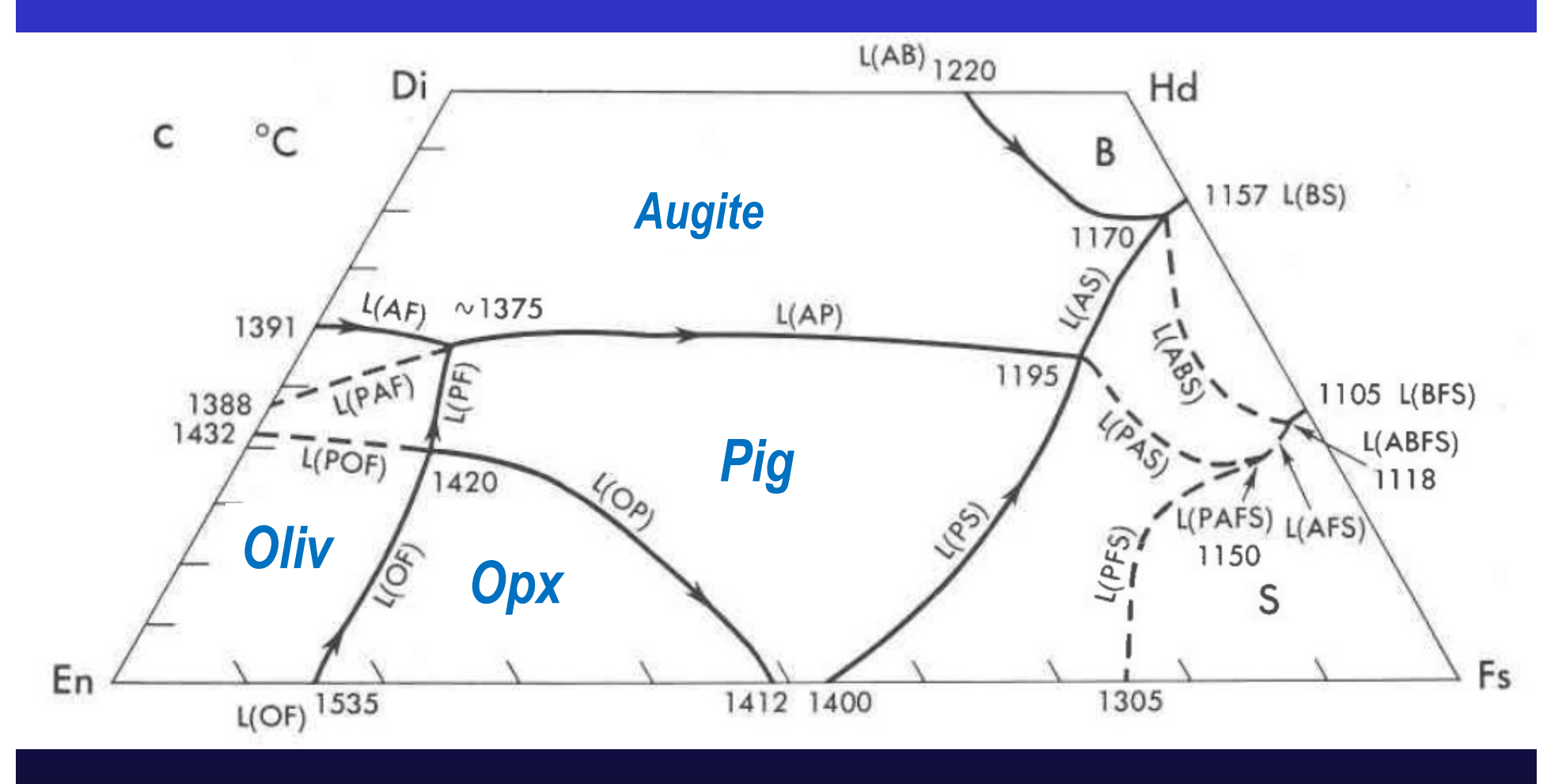
Фазовые соотношения при плавлении пироксенов (Huebner and Turnock, 1980)



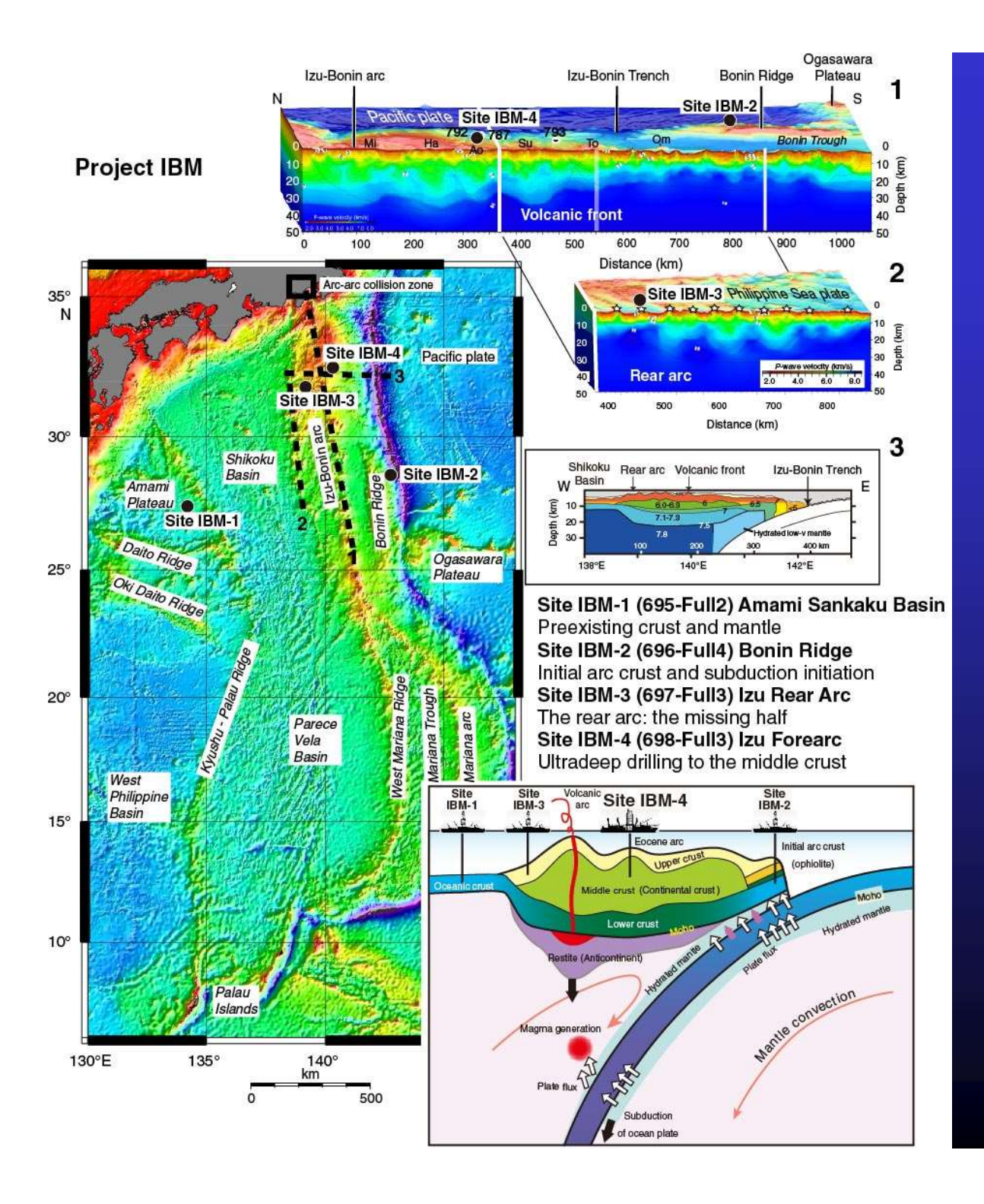
P = 1 atm

Фазовые соотношения при плавлении пироксенов

(кривые плавления для 2-х и 3-х ф азовых ассоциаций)



P = 1 atm



Базовая модель **ЭВОЛЮЦИИ** магматизма островных дуг Тихого океана: менее глубинного бонинитового к известковощелочному!